Universidad Nacional Autónoma de México

FACULTAD DE QUIMICA



SINTESIS DE NUEVOS COMPUESTOS DE RUTENIO,
RODIO Y PALADIO CON PUENTES DE
PENTAFLUOROTIOFENOL.





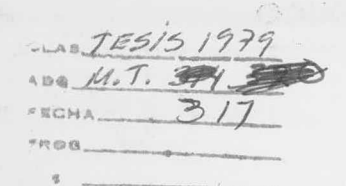


UNAM – Dirección General de Bibliotecas Tesis Digitales Restricciones de uso

DERECHOS RESERVADOS © PROHIBIDA SU REPRODUCCIÓN TOTAL O PARCIAL

Todo el material contenido en esta tesis esta protegido por la Ley Federal del Derecho de Autor (LFDA) de los Estados Unidos Mexicanos (México).

El uso de imágenes, fragmentos de videos, y demás material que sea objeto de protección de los derechos de autor, será exclusivamente para fines educativos e informativos y deberá citar la fuente donde la obtuvo mencionando el autor o autores. Cualquier uso distinto como el lucro, reproducción, edición o modificación, será perseguido y sancionado por el respectivo titular de los Derechos de Autor.





1 6 3

in a company

PRESIDENTE LENA RUIZ-RAMIREZ

VOCAL DIANA CRUZ VALVERDE

Jurado asignado originalmente según el tema

SECRETARIO HUGO TORRENS MIGUEL

ler. SUPLENTE AMFLIA GARCIA RODRIGUEZ

2do. SUPLENTE JOSE ANTONIO CHAMIZO GUERRERO

Sitio donde se desarrolló el tema: Departamento de química Inorgánica de la División de Estudios de Posgrado.

Nombre completo y firma del sustentante: Roberto Salcedo Pintos

Nombre completo y firma del asesor del tema: Hugo rorrens Miguel

Agradezco al Dr. Hugo Torrens M. por la confianza depositada en mí, y a todas-aquellas personas que, de una u otra ma_nera, hicieron posible la realización deeste trabajo.

A mis Padres.

A mi hermano Fernando.

UNIVERSIDAD NACIONAL AUTONOMA DE MEXICO

FACULTAD DE QUIMICA

SINTESIS DE NUEVOS COMPUESTOS DE RUTENIO, RODIO Y PALADIO CON PUENTES DE PENTAFLUOROTIOFENOL.

ROBERTO SALCEDO PINTOS
QUIMICO

INDICE

Prólogo	P á g
I Antecedentes	2
a) Compuestos de Rutenio	2
b) Compuestos de Rodio	3
c) Compuestos de Paladio	5
d) Pentafluorotiofenol y tiofenol	11
e) Compuestos puenteados	13
f) Naturaleza del enlace π	14
II Resultados	
-II.1 Compuestos con Rutenio	18
II.1.a Reacción con [Ru(N-N)(PPh3)2Cl]2Cl2	18
II.1.b Reacción con [RuCl ₃ (PPh ₂ Me)] n	20
-II.2 Compuestos con Rodio	21
II.2.a Reacción con [(COD)RhCl] 2	21
II.2.b Reacción con [(NBD) RhCl] 2	22
II.2.c Reacción con [(DCP)RhCl] ₂	23
-II.3 Compuestos con Paladio	24
II.3.a Reacción con [(PPh ₃)PdCl ₂] ₂	24
II.3.b Reacción con [CH3SCH(CH3)] 2PdI2	25
III Discusión	27
Introducción	27
-III.1 Compuestos con Rutenio	27
III.1.a $\left[\operatorname{Ru}(N-N)\left(\operatorname{PPh}_{3}\right)_{2}\left(\operatorname{SC}_{6}F_{5}\right)\right]_{2}\operatorname{Cl}_{2}$	28
III.1.b Reacción con [RuCl ₃ (PPh ₂ Me)] n	28
-III.2 Compuestos con Rodio	28
III.2.a $[(COD)Rh(SC_6F_5)]_2$	29
III.2.b $[(NBD)Rh(SC_6F_5)]_n$	30
III.2.c [(DCP)Rh(SC ₆ F ₅)] _n	30
-III.3 Compuestos con Paladio III.3.a [(PPh ₃)Pd(SC ₆ F ₅)Cl] ₂	30
	31
III.3.b[CH ₃ SCH(CH ₃)] 2PdI ₂	

	Pag.
IV Conclusiones	33
V Parte Experimental	34
Apendice I	
Compuestos Fluorados con puentes de azufre	42
Apendice II	
* Metodo de Evans	44
Apendice III	
Tabla de Frecuencias de Absorción en Infrarrojo	46
Nomenclatura	50
Bibliografia	51

PROLOGO

El propósito del presente trabajo fue la síntesis de nuevos compuestos con puentes de pentafluorotiofenol entre especies monoméricas.

Estos compuestos son de importancia debido a que, en el caso de aquellos que contienen rodio y paladio, complementan trabajos anteriores reportados en la literatura y en el caso de los de rutenio, son los primeros compuestos de éste tipo que se han obtenido hasta la fecha con dicho metal.

Para llegar a este objetivo, se ha hecho uso, en casi todos los casos de análogos halogenados, algunos de los cuales se han te nido que sintetizar siguiendo las técnicas reportadas en artícu los que se citan en los casos correspondientes.

Los capítulos correspondientes a resultados y discusión son independientes uno del otro y se obtienen breves conclusiones posteriormente.

ANTECEDENTES

El grupo VIII de la tabla periódica está formado por tres triadas de elementos. Los que corresponden a la primera serie de elementos de transición se denominan metales ferroso (fierro cobalto y niquel) mientras que los que corresponde a la segunda y tercera series, se les conoce como los elementos del grupo del platino. (Rutenio, rodio, paladio, osmio, iridio y platino) 1

a) Compuestos de Rutenio.

El rutenio fué aislado por K.K. Klaus en 1844. El nombre fué dado por G.W. Osann dieciocho años después, por ser uno de los tres nuevos metales aislados de residuos platínicos en Rusia (del latín, Rutenia - Rusia). Se puede aislar de la laurita (Ru, Os) S₂, o de impurezas de osmiridium; ambos son tambien fuentes de osmio.

Tanto rutenio como osmio son metales nobles, en condiciones no<u>r</u> males de temperatura y presión, resisten el ataque de la atmó<u>s</u> fera y de los ácidos. Sin embargo son atacados por oxígeno, fluor y cloro, a temperaturas elevadas. Son solubles en peróxido de sodio para dar oxi-sales.

El rutenio presenta estados de oxidación muy altos, como un formalismo se considera que es VIII en sus tetroxidos, hasta cero en carbonilos y compuestos relacionados. Sus principales estados de oxidación son II y III y su estabilidad depende del ligante en particular.

Aunque la hidrólisis del grupo o complejo estable:

$$[RuCl_n(H_20)_{6-n}]^{(3-n)+}$$
 Ia.

va más allá de
$$\left[\text{RuCl} (\text{H}_2^{0})_5 \right]^{2+}$$
 II

La especie $\left[\operatorname{Ru}(\operatorname{H}_20)_6\right]^{2+}$ definitivamente existe en solución acuosa y se puede obtener por reducción electrolítica de cloruros de Rutenio (III) por intercambio ionico.

En estados de oxidación II y III se pueden obtener casi todos los halógenuros de rutenio. Con Ru (III) todos y con Ru (II) no se conoce el fluorado. Con altos estados de oxidación sólo se conocen fluoruros. Se conoce gran cantidad de compuestos complejos halogenados. Se debe citar la importancia que tiene el RuCl $_3$ como precursor de muchas reacciones. Este se sintetiza por combinación directa de sus constituyentes. Existe en dos formas isoestructurales, una insoluble en agua y la otra soluble; presentan estructura de capas reticulares y geometría octahedrica respectivamente . La forma soluble posiblemente presenta la fórmula RuCl $_3$ (H $_2$ 0) $_3$ x H $_2$ 0 y se obtiene por la reacción de RuO $_4$ con ácido clorhídrico. Es materia prima de gran número de complejos halogenados.

Entre los compuestos a que dá lugar la especie anterior, cabe citar el caso de fosfinas de gran interés cuya obtención se esque matiza a continuación. 4

$$RuCl_3 \times H_2^0 \xrightarrow{PPh_3} RuCl_2(PPh_3)_3$$
 III

El compuesto que se obtiene es uno de los más importantes com puestos de Ru (II) ya que es un catalizador muy versatil para hidrogenación de 1-alquenos.

Tomando en cuenta la configuración d^6 para el metal en estado de oxidación Ru(II), encontraremos todos sus electrones apareados en los orbitales t_2g , esto es importante ya que los compuestos a que dá lugar serán especies diamagnéticas y por lo tanto factibles de ser estudiadas por RMN.

b) Compuestos de Rodio.

El rodio fué descubierto por W.H. Wollaston en 1804. Su nombre

se deriva por la coloración rosa de algunas de sus sales (del griego rhodon-rosa).

Los principales estados de oxidación que presenta son III y I. Para complejos con ligantes donadores π , en general presenta estados de oxidación de cero a VI.

Debido a la alta energía de estabilización de campo cristalino en d^6 , se favorece notablemente el estado de oxidación III y casi no se conoce para II. El estado de oxidación I para compuestos con geometría cuadrada y configuración d^8 , presenta todos los electrones del metal apareados y tiene comportamiento diamagnético.

Al tratar RhCl $_3$ con un exceso de ácido perclórico se obtiene $[Rh(H_20)_6][(Cl0_4)_3]$ de muy alta estabilidad. Existen evidencias de la formación de una especie de Rh (II) al reducir $[RhCl(H_20)_5]^{2+}$ con iones cromosos .

En el estado de oxidación III presenta todos los halogenuros. En estado de oxidación IV, V y VI solo se conocen fluoruros.

El RhCl $_3$ es el compuesto más común de rodio, se prepara por combinación directa de sus constituyentes a 300°C. Es un producto rojo, volatiliza a 800°C. Presenta una estructura similar a la de el AlCl $_3$ con puentes de cloros combinados. Se disocia en fase ga seosa a 1000°C en RhCl $_2$ (g) y Cl $_2$.

 ${\rm El\ RhCl}_3$ es insoluble en agua, pero se puede encontrar una forma soluble por la reacción:

$$Rh_2O_3 + HCl(ac) \longrightarrow RhCl_3(ac) \longrightarrow RhCl_3$$

Este compuesto produce iones hidratados al estar en un exceso de agua a ebullición. El ión amarillo $\left[\text{Rh}(\text{H}_2\text{O})_6 \right]^{3+}$ es un ejemplo de ellos y es muy estable.

Al disolver el compuesto $\left[\operatorname{Rh}(\operatorname{H}_2^0)_6\right] \left(\operatorname{Cl0}_4\right)_3$ en HCl se obtienen varias especies complejas en mezcla con formula general $\left[\operatorname{RhCl}_n\left(\operatorname{H}_2^0\right)_{6-n}\right]^{(3-n)+}$, algunas de estas especies han podido aislarse, una de ellas, el compuesto $\operatorname{RhCl}_3\left(\operatorname{H}_2^0\right)_3$, es de utilidad en el presente trabajo y se hablará de él en el capítulo III.

Es posible obtener complejos que contengan fosfinas; al reflujar RhCl $_3$ con un exceso de fosfina en solución de etanol, se logra aislar especies como el compuesto RhCl(PPh $_3$) $_3$.

c) Compuestos de Paladio.

El nombre de este metal proviene de la mitología griega (Del latín palladium y este del griego palladión. Estatuilla guerrera protectora militar de una ciudad, representaba a la diosa Palas Atenea).

La química del paladio está intimamente relacionada a la química del platino y en menor grado con la del niquel. El Pd(IV) se estabiliza con ligantes clorados como en el caso $\left[\text{PdCl}_6\right]^{2-}$. El estado de oxidación más estable que presenta además del anterior, es Pd (II).

Es de hacerse notar que el incremento en el valor del des doblamiento de campo cristalino afecta la geometría del metal. Esto se debe a los siguientes factores:

- 1 El incremento en el estado de oxidación produce a su vez un incremento en el valor del desdoblamiento.
- 2 El valor del desdoblamiento de campo cristalino para iónes metálicos del mismo grupo y con la misma carga, se incrementa de 30 a 50 por ciento de la primera a la segunda serie de transición. Análogamente hay un incremento de la segunda a la tercera.
- 3 La naturaleza del ligante con respecto a su habilidad para

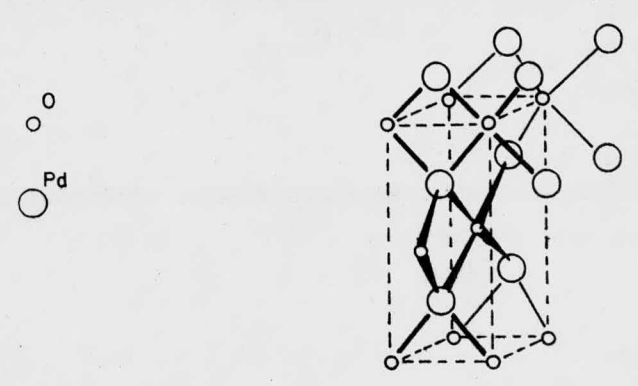
desdoblar en niveles los orbitales d. La serie que se obti \underline{e} ne es llamada la serie espectroquímica. Esta serie es útil en la determinación de la orientación a campo débil o fuerte para la geometría octahédrica, pero en una serie empírica y debe trabajarse con cuidado.

Debido a estos factores se encuentra que los complejos de Ni(II) son actaédricos, tetraédricos o cuadrados, mientras que los de Pd (II) y Pt (II) son en general cuadrados. Además Pd (II) y Pt (II) pueden distinguirse en estabilidad por la formación de complejos isoméricos del tipo cis y trans MA₂B₂; este comportamiento es típico para Pt (II), pero en el caso de Pd (II) la tendencia es menor a formar isómeros. La estabilidad de la geometría de cuadrado con relación a la tetraédrica depende de la mayor energía de estabilización de campo cristalino para el sistema d⁸; en el caso de Ni (II), esta estabilización se encuentra cuando se tiene ligantes que producen un campo alto, por ejemplo ciano, pero para Pd (II) y Pt (II) no requiere ligantes específicos, la geometría se estabiliza por si sola.

El paladio puede formar percloratos hidratados de fórmula $\left[\text{Pd} \left(\text{OH}_2 \right)_4 \right] \left[\left(\text{ClO}_4 \right)_2 \right]$ al tratar $\left[\text{PdCl}_2 \right]$ con $\left[\text{AgClO}_4 \right]$. La reacción tiene algunos subproductos .

Halogenuros binarios de Pd se forman en los estados de oxidación II y IV. En Pd (II) cloruros, bromuros, ioduros y fluoruros, en Pd (IV) unicamente fluoruros. Se preparan por combinación directa entre el metal y el halógeno . Se conocen diversas especies y se presentan diferentes reactividades, también se conocen formas isoestructurales $\operatorname{Pd}_6\operatorname{Cl}_{12} \bullet \operatorname{PdCl}_2$, generalmente la forma que adoptan es de cadenas con puentes coplanares clorados.

por combinación directa de oxígeno y el metal. Muestra el efecto de alta energía de estabilización de campo cristalino para la configuración d 8 , a esto se debe que presente estructura geom<u>é</u> trica cuadrada como se ve en la figura.



Se conocen compuestos binarios estequiométricos de formula simple un ejemplo es el PdS, se obtiene de una solución acuosa de Pd(II) al tratarse con ${\rm H_2S}$, su fórmula no es conocida, pero se presume que sea del tipo ${\rm Pd}^{2+}({\rm S_2})^{2-}$.

Con estado de oxidación (0), se conocen complejos en los que es indispensable la presencia de ligantes π enlazantes para la formación de complejos estables. El ligante π enlazante más conocido es el monoxido de carbono; el Pd (CO) $_4$ no existe al igual que su análogo de Pt, sin embargo el análogo de Ni sí se conoce. La explicación de la ausencia de estos compuestos se ha ofrecido en términos de la diferencia en la estructura electrónica del estado basal, Ni(3d 8 4s 2), Pd(4d 10) y Pt(5d 9 6s 1). El fenómeno no se extiende a complejos análogos con ligantes arsínicos o fosfóricos, estos dan complejos de fórmula Pd(di-L) $_2$ que se obtienen a partir de los análogos en estado de oxidación más alto, el ejemplo clásico de reducción de Pd (II) se ilustra a continuación.

En este caso, la geometria que presenta es exclusivamente tetraedral.

Para Pd (0) el número de coordinación no es exclusivamente

cuatro, existen compuestos del tipo PdL_{x} en donde el valor de x depende de factores estéricos.

Los compuestos de coordinación que contienen fosfinas, por ejemplo $\operatorname{Pd}(\operatorname{PPh}_3)_4$ reaccionan rapidamente con oxígeno molecular en solución bencénica obteniéndose el aducto $\operatorname{Pd}(\operatorname{PPh}_3)_2 0_2^{14}$, el cual es materia prima para un gran número de reacciones.

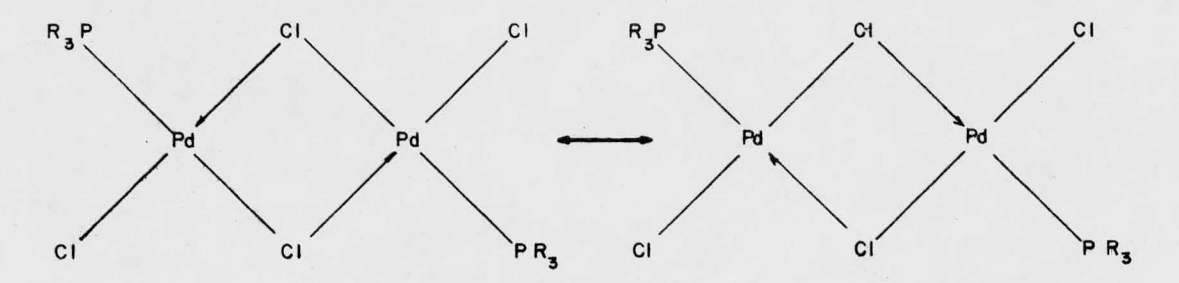
La química de los compuestos en estado de oxidación Pd(II) es muy extensa, los complejos estables de esta especie a diferencia de los análogos de Pt(II) son súmamente lábiles. La geometría que presentan generalmente es cuadrada. Se les puede clasificar en tres categorías i). Complejos clásicos con ligantes clásicos como amoniaco o halógenos ii) Alquil o hidrocomplejos con enlace y, iii) Complejos olefínicos y acetilénicos.

Un ejemplo de compuestos del primer tipo son los tetracloro paladatos (II) de sodio y potasio, que se obtienen por la acción del halogenuro de sodio o potasio sobre el ácido tetraclorapaládico preparado previamente el disolver paladio metálico en agua regia. 15 Es materia prima para multiples reacciones.

Debido a la gran velocidad de isomerización cis-trans los de rivados de Pd (II) de la forma $PdCl_2(PR_3)_2$ generalmente son trans. Si se agita una mezcla acuosa de una fosfina dada con K_2PdCl_4 , el producto inicial que se obtiene es $Pd(PR_3)_4$ $PdCl_4$ que al calentarse dá un compuesto trans de la forma $Pd(PR_3)_2Cl_2$. Por este camino se pueden obtener compuestos similares de piridina .

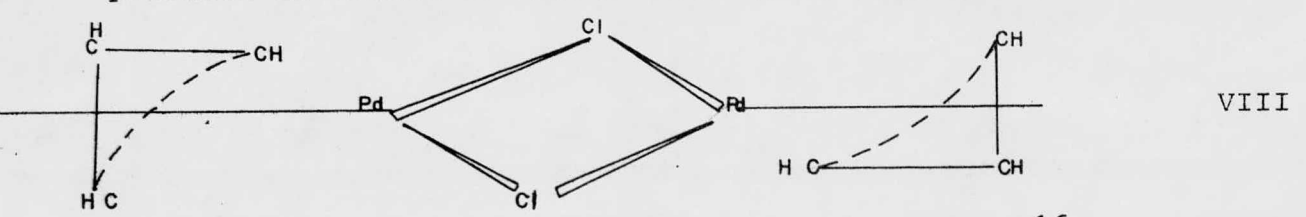
Cuando se hace reaccionar metoxi-etanol con un complejo de Pd(II) que contenga fosfinas terciarias, se lleva a cabo una reac ción de metalación interna, es decir la sustitución de un hidróge no por un enlace π de metal carbón.

Existen gran variedad de compuestos de Pd (II) binucleares debido al puente que forma un ligante de un metal a otro, el ligante debe ser aniónico o neutro a continuación se ilustra un compuesto de este tipo.

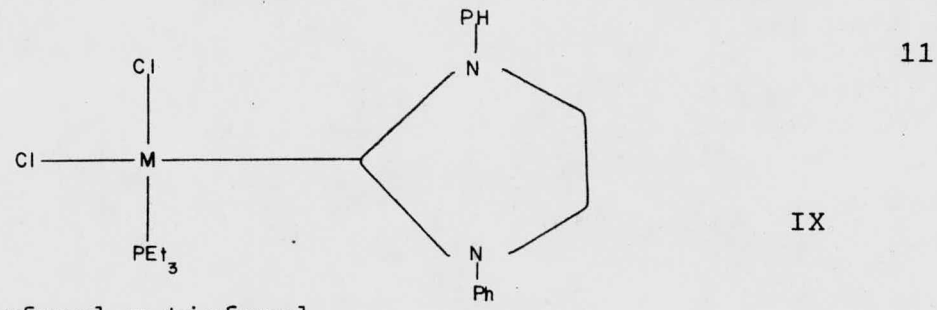


Se conocen compuestos de paladio que presentan enlaces a olefinas y acetilenos. La materia prima básica para llegar a la síntesis de compuestos de este tipo, es decir complejos que con tienen olefinas o alquinos unidos por enlace π , es el K Pd(C $_2$ H $_4$)Cl $_3$ el cual a su vez se obtiene de una mezcla de K $_2$ PdCl $_4$ y SnCl $_2$ en HCl 1M . Una solución etanólica de este compuesto reacciona con HCl y dá lugar a un dímero anaranjado con puentes de cloro de formula Pd(C $_2$ H $_4$)Cl $_2$ que es inestable.

Se conoce un dímero π-alilo paladio (II) muy curioso que presenta un enlace asimétrico como se muestra a continuación:

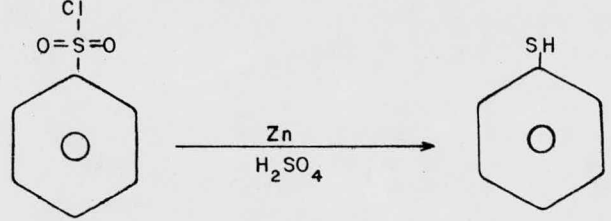


Existen complejos carbenos como el siguiente. 16



d) Pentafluoro tiofenol y tiofenol.

El tiofenol es un compuesto aromático que se prepara por la reducción de cloruro de bencenosulfonilo con polvo de zinc en ácido sulfúrico 17 , la reacción es la siguiente:



El pentafluorotiofenol, es el análogo del tiofenol en el que se han sustituido todos los hidrógenos por átomos de fluor esto necesariamente provoca variaciones en el comportamiento químico de la especie. El fluor, debido a su alta electronegatividad, es un desactivante como sustituyente en anillos aromáticos, en el caso presente tenemos cinco sustituyentes, por lo tanto es sumamente difícil llevar a cabo reacciones de sustitución en el anillo; pero la especie en sí tiene una electronegatividad alta que puede variar dependiendo de su interación con el resto de la molécula del compuesto del que forma parte. Se ha estimado que el valor de electro negatividad debe estar en el rango entre los valores correspondientes al cloro y el bromo. Debido a esto el grupo C_6F_5S puede clasificarse como un pseudohalógeno.

El pentafluorotiofenol tiende a polimerizarse a temperatura ambiente en presencia de una base, pero el proceso es sumamente le $\underline{\bf n}$ to.

Trabajando el compuesto en atmósfera de nitrógeno o al vacio, se evitan problemas por polimerización. Sin embargo, existen materias primas que pueden actuar como fuentes de la especie ${\rm C_6F_5S}^-$

cuya manipulación es mas sencilla

El disulfuro correspondiente es un buen ejemplo sobre estas materias primas, se prepara partiendo del mismo fenol y no presenta problemas por polimerización. 20

Se han preparado además sales conteniendo átomos metálicos del tipo M(S C_6F_5)_n, donde M = Pb (II), Hg (II) y Ag (I); estas sales tienen diferentes solubilidades lo cual da mayor versatilidad a su aplicación en el laboratorio 18 , 19 , 21 .

Se conoce gran cantidad de compuesto que contienen especies de la forma SR . Se han realizado estudios en los cuales se ha comprobado que mientras aumenta la capacidad de atraer electrones del grupo R, disminuye la tendencia a la polimerización 21, 22.

$$\left[\operatorname{Pd}\left(\operatorname{SC}_{6}\operatorname{F}_{5}\right)\right]_{2}^{21}$$
 XI

Como se puede ver, el compuesto que contiene el anillo hidroge nado es un polímero, mientras que el que contiene el anillo análogo fluorado, es un dímero. Obviamente la electronegativad de la especie fluorada es mayor y el comportamiento sugerido se corrobora.

Sin embargo, dicha sugerencia no se puede generalizar como una regla ya que existen otros factores que se deben tomar en cuenta, en primer lugar en el proceso de obtención de un compuesto dado de naturaleza polimérica al cambiar las condiciones de reacción; naturaleza del solvente, polaridad, calor, etc.; se puede variar la cinética de la reacción y sus propiedades termodinámicas de tal manera que es posible aislar especies diméricas ó monoméricas. En segundo lugar, un polímero se puede romper dependiendo de las condiciones de reacción y dar unidades de cadena pequeña ó en el mejor de los casos dímeros y monoméros. Estas posibilidades se ilustran a continuación

También se han preparado compuestos de la forma $N(SC_6F_5)_n$, donde N es un no metal ó una especie orgánica. La utilidad de estas especies es que se prestan para realizar estudios de elec tronegatividad del pseudohalógeno, dicha electronegatividad puede variar dependiendo de la naturaleza de N. A su vez, estos compues tos pueden formar parte de moléculas de compuestos de coordinación como ligantes.

e) Compuestos Puenteados.

Un compuesto puenteado presenta un mínimo de dos unidades monoméricas de un compuesto de coordinación unidas entre sí por dos moléculas aniónicas o neutras a manera de puente. En cada uni dad del puente, se tiene hacia uno de los metales un enlace iónico y hacia el otro un enlace coordinado o ambos coordinados, en algu nos casos se presenta ademas un enlace metálico entre los dos nú cleos de cada unidad.

La especie que forma los puentes debe poseer pares electróni cos no compartidos capaces de coordinarse a un metal. Esta condi ción se cumple facilmente para un anión puesto que presenta en su superficie, niveles electrónicos semillenos.

Debido a lo anterior se conocen gran cantidad de compuestos

de la forma $M_2(L_4X_2)$, donde L es un ligante cualquiera que se coordina por la parte exterior de la molécula y X es un anión que forma el puente interior. El caso anterior muestra una especie dimérica, pero se puede generalizar para trímeros, tetrámeros o polímeros en general.

Se conocen gran cantidad de especies con diferentes aniones formando el puente para compuestos complejos de metales de transición. En el apéndice I se enlistan algunas especies de este tipo ordenadas según la naturaleza del anión del puente.

f) Naturaleza del enlace. T

El sistema etileno-metal proporciona un modelo útil con el cual describir el enlace en los complejos organometálicos. La descripción se basa en la teoría de orbitales moleculares.

La consideración de la simetría de una molécula, seguida por la aplicación de teoría de grupos, nos permite determinar qué orbitales del metal y de los ligantes han de combinarse para formar orbitales moleculares, aunque un grado significativo de enlace químico solamen te resulta cuando son de energías adecuadas y semejantes. En la discu sión que sigue, se trata principalmente con un tipo de elementos de simetría: un eje de simetría rotacional, perpendicular al plano que contiene el ligante orgánico que esta siendo considerado y que pasa a través del átomo metálico. Por convención, a este eje se le deno mina eje z. Usando este eje, los orbitales del ligante y del metal pueden clasificarse frecuentemente como orbitales $\sigma, \pi \circ \delta$ (a condición de que la simetría de rotación de la molécula sea mayor de dos)

La función de onda de un orbital σ no cambia de signo por rota

ción de 180° alrededor del eje de simetría (eje z). Para un orbital π el signo de la función de onda cambia una vez y para un orbital δ dos veces, por efecto de tal rotación.

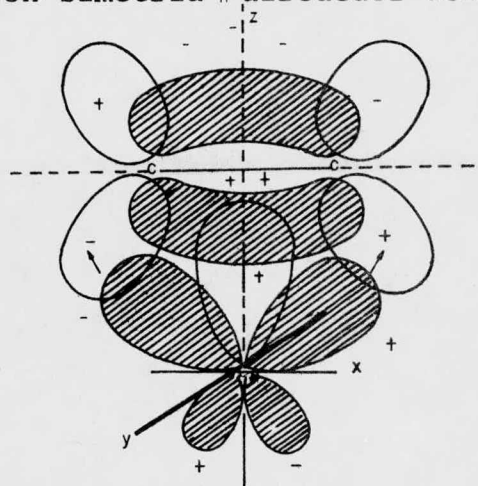
Se puede hacer una clasificación de los orbitales atómicos del metal según la simetría con respecto a rotación alrededor del eje z, es la siguiente:

Simetría	Orbitales atómicos del metal
σ	s, d_z^2 , p_z
π	d _{zx} , d _{yz} , p _y , p _x
δ	$d_{x^2-y^2}$, d_{xy}

Las consideraciones de simetría por sí solas no nos dicen nada acerca de las energías de los orbitales moleculares derivados a partir de los orbitales del metal y de los ligantes y ni siquiera acerca del orden relativo de los mismos. Sin embargo, puede dedu cirse que un gran traslapamiento entre orbitales de energía seme jante da lugar a enlace fuerte y que cuanto más próximos en energía sean los orbitales interactuantes, tanto más estable será el orbital molecular enlazante que resulta. la evidencia experimental acerca de las energías relativas de los orbitales moleculares puede obtenerse a menudo a partir de datos espectroscópicos (espectro electrónico) y magnéticos. Normalmente, tales energías se expresan en términos de eV o kcal/mol por debajo de la energía de ionización.

Una representación del enlace metal-olefina se muestra en la siguiente figura. En esta figura los orbitales $\mathbf{p_Z}$ del carbono se han combinado primero para formar un orbital molecular enlazante π y otro antienlazante π , los orbitales del metal estan hibrida dos. Uno de los orbitales híbridos del metal es capáz de traslapar

se con el orbital molecular de enlace lleno de etileno para dar un enlace σ , mientras que los otros pueden interactuar con los orbitales moleculares antienlazantes vacíos del ligante, lo que dá lugar a un enlace con simetría π alrededor del eje z.



De esta forma, el enlace metal-olefina esta constituido por dos componentes, donación σ del ligante al metal y simultaneamente donación π del metal al ligante. Esta descripción del enlace es muy semejante a la que se dá para el enlace metal-monóxido de carbono en los carbonilos metálicos. Tanto el etileno como el monóxido de carbono son donadores σ demasiado débiles para formar aductos con ácidos de Lewis. Sin embargo poseen orbitales vacantes de baja energía que pueden aceptar electrones de los orbitales d llenos par cialmente llenos de los elementos de transición. La transferencia de electrones del ligante al metal en la formación de un enlace σ puede probablemente ser aumentada por la simultanea eliminación de carga del metal a través de retrodonación π al ligante. Es dificil estimar la importancia relativa de los enlaces σ y π en tales sistemas. Sin embargo, se sugiere que, en general, el enlace π efectúa la contribución mayor.

Dado que la donación π del metal al ligante tiene lugar a partir de orbitales llenos del metal, los complejos olefina-metal los forman usualmente los metales en estados de oxidación bajos, ricos en electrones, especialmente los últimos elementos de las series de transición como Fe, Co, Ni, y Cu y por ende sus congéneres en los periodos posteriores. Naturalmente, estos elementos tienen más elec

trones de valencia que los que están al principio de la serie.

Tanto la eliminación de electrones del orbital enlazante del etileno, como la donación a orbitales antienlazantes $_{\pi}$ tenderá a debilitar el enlace C - C . En concordancia con esto, en las olefinas coordinadas a los metales de transición se observa generalmente una disminución en la frecuencia de alargamiento C=C de 60-150 cm $^{-1}$ en el espectro Raman. 24

RESULTADOS

II

En todos los casos, la materia prima con la que se hizo reaccio nar los análogos halogenados, es el pentafluorotiofenolato de plomo ${\rm Pb}({\rm SC_6F_5})_2$ (XII)

II.1 Compuestos con Rutenio.

II.1.a Reacción con
$$\left[\text{Ru} \left(\text{N-N} \right) \left(\text{PPh}_3 \right)_2 \text{Cl} \right]_2 \text{Cl}_2$$
 (XIII) 25

Se hace reaccionar XIII con la sal de plomo (XII) en medio acetónico (Ver parte experimental) obteniéndose un compuesto rojo y un subproducto verde en muy bajo rendimiento. La reacción es la siguiente:

XIII + Pb(SC₆F₅)₂
$$\longrightarrow$$
 [Ru(N-N)(PPh₃)₂ (SC₆F₅)]₂Cl

El análisis elemental concuerda con la composición porcentual del compuesto (XIV).

En el espectro de infrarojo encontramos bandas de absorción a 3400 cm⁻¹ y 1630 cm⁻¹ debidas a la presencia de agua en el compuesto; bandas a 1520, 1470, 1080 y 970 que corresponden al fluorotiolato; bandas en 1440, 720 y 690 debidas a la fosfína y una banda en 1120 debida a la bipiridina. (Ver Apéndice II).

En el espectro RMN ¹⁹ F 94.1 MHz . El orden de aparición de las señales, en la dirección en que aumenta el campo, tomando en cuenta la estructura siguiente.

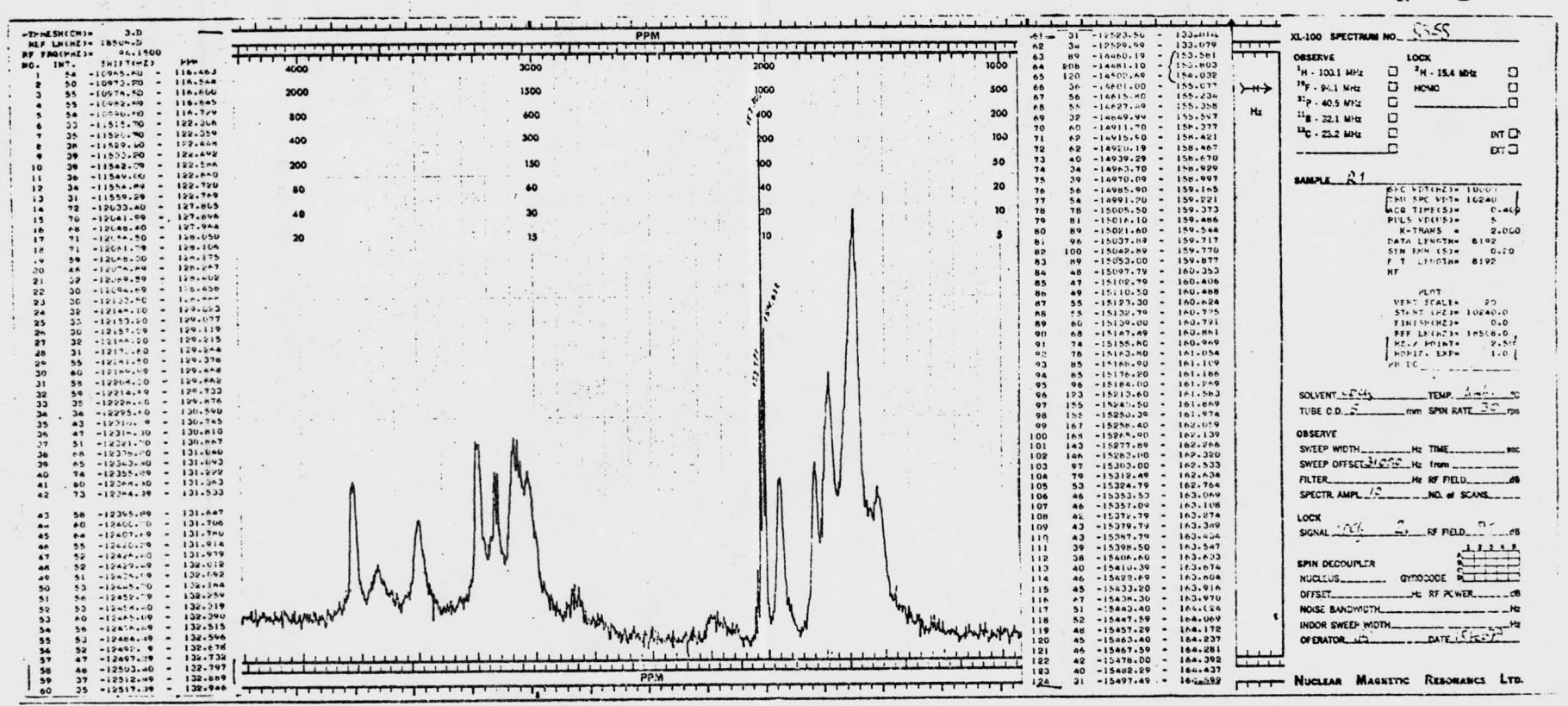
ΧV

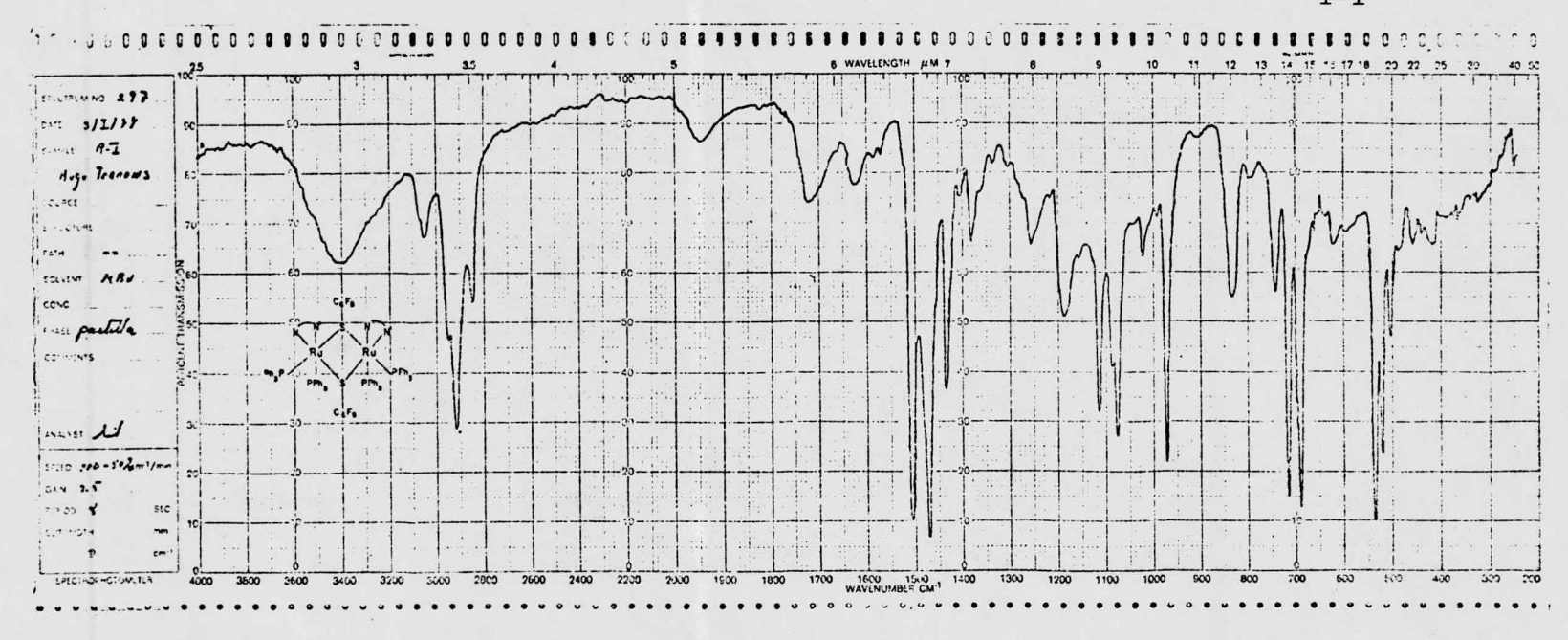
Son orto, para, meta con respecto al azufre. El espectro es de segundo orden, pero en una parte de él, el comportamiento se aproxima al primer orden. Tomando en cuenta la posición del grupo (XV) con respecto a la unión con el azufre y debido a la geometría y orientación del mismo, puede variar el ambiente químico que lo rodea y comportarse diferente en un campo magnetico y de tal manera que para cada tipo de fluor puede dar más de una señal dependiendo de cuántos ambientes químicos diferentes se presenten.

El sistema es A_2B_2C . La señal correspondiente a F_3 es la que se aproxima más al primer orden y por ende la que proporciona mayor información. En el espectro (Fig. N-1) se encuentran dos tripletes traslapados correspondientes a esta señal. Uno de ellos en $\delta = 153.803$ mucho más intenso que el otro, este triplete corresponde, junto con el menos intenso traslapado a él, a la señal debida el isómero siquiente. $\frac{c_6}{6}F_5$

PPh₃
S
PPh₃
Ru
Ru
PPh₃
Ru
PPh₃
Ru
PPh₃

La explicación de por que se asocia esta estructura con la señal descrita es la siguiente: Dos tripletes correspondientes a una señal implican dos ambientes químicos diferentes, en este caso uno de ellos es predominante ya que la señal es mucho más intensa.





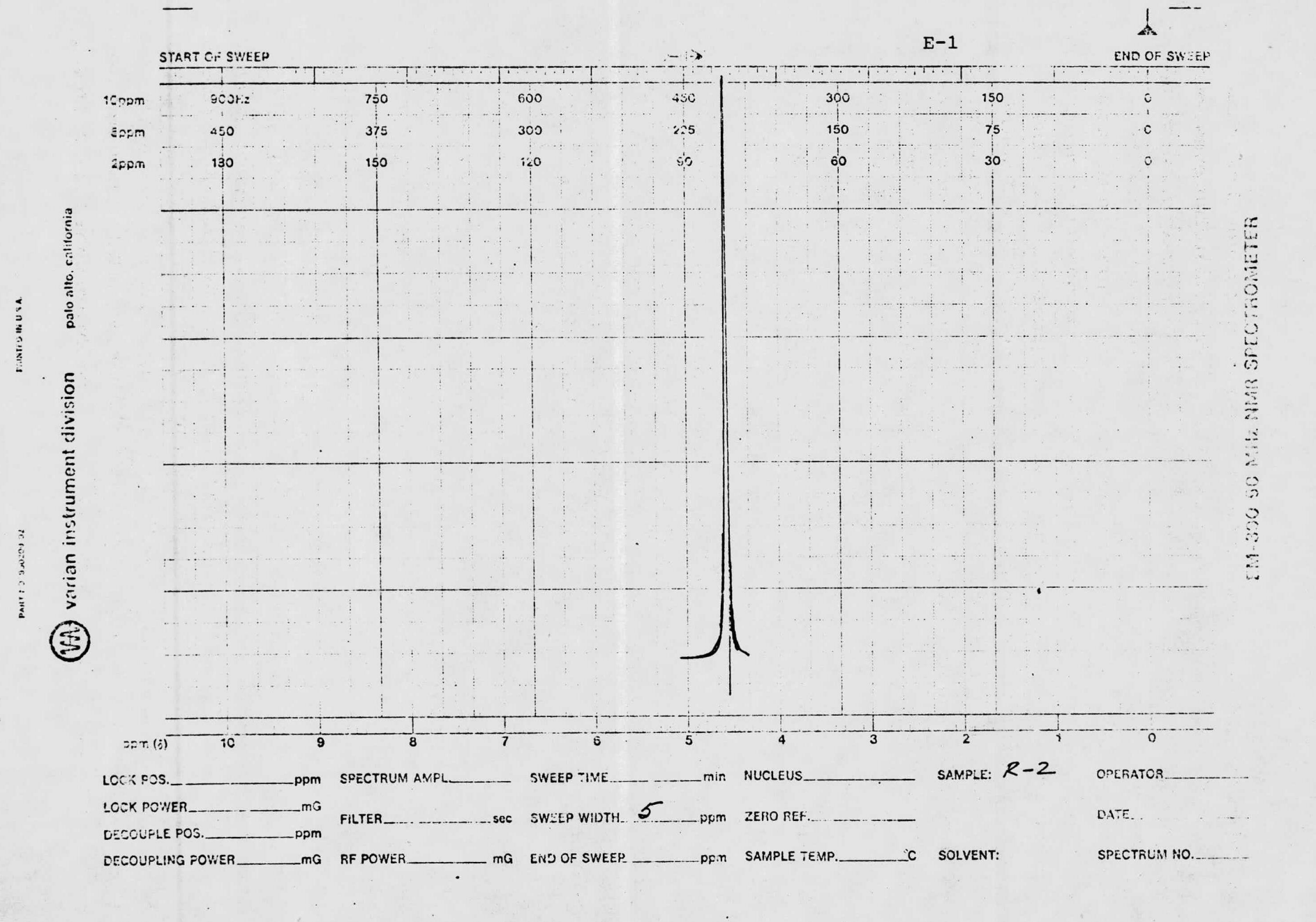
Si la molécula de bipiridina se encuentra bidentada ecuatorialmente el ambiente químico será similar en ambos lados de la molécula con respecto a un plano imaginario xy . Entonces, la única variación estará dada por la orientación del anillo fluorado y tendrá dos posiciones; sin y anti. Obviamente deben existir otros isómeros, pero al presentar otra geometría se tendrán muchos más ambientes químicos y la señal que se obtenga será mas complicada como se puede ver en la señal a $\delta=155.358$ que deben corresponder a otros isómeros pero no aporta información útil. La constante de acoplamiento para el triplete mencionado arriba es de J=21.59 Hz, en trabajos anteriores se han reportado, para sistemas similares con otros nucleos metálicos (Ni, Fe), $\delta=152.1$ p.p.m. y J=21.2 Hz

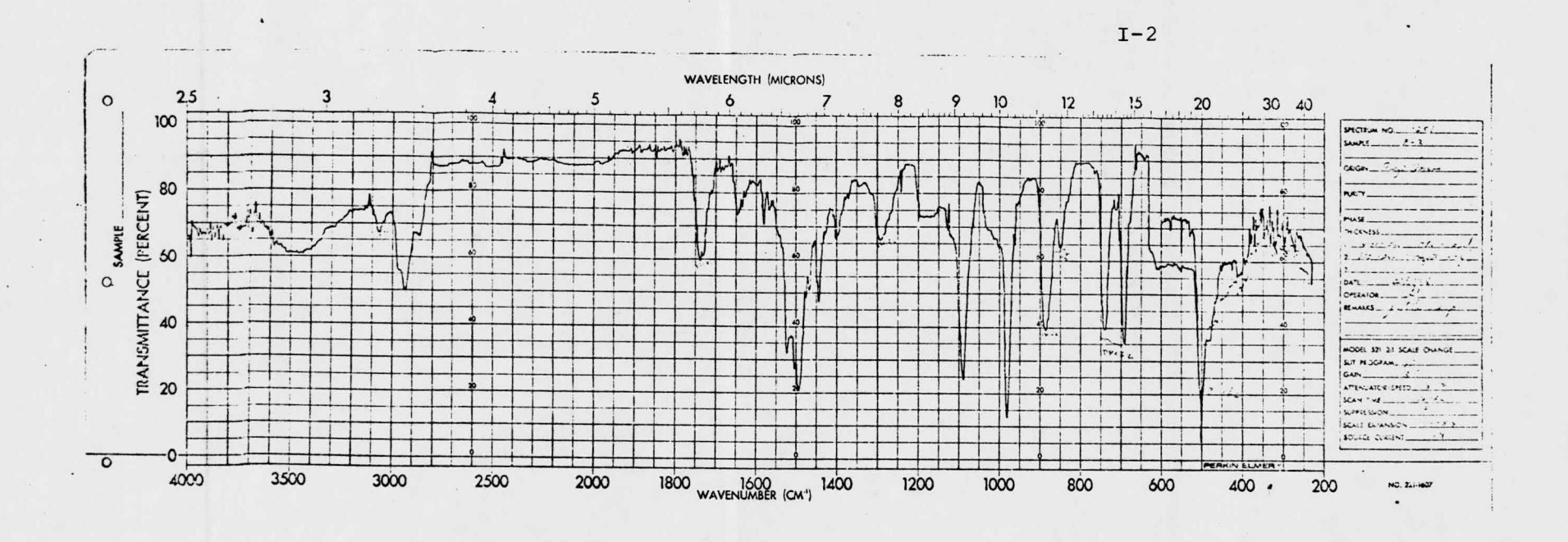
II.1.b Reación con
$$\left[\text{RuCl}_3 \left(\text{PPh}_2 \text{Me} \right) \right]_n^{27}$$
 (XVI)

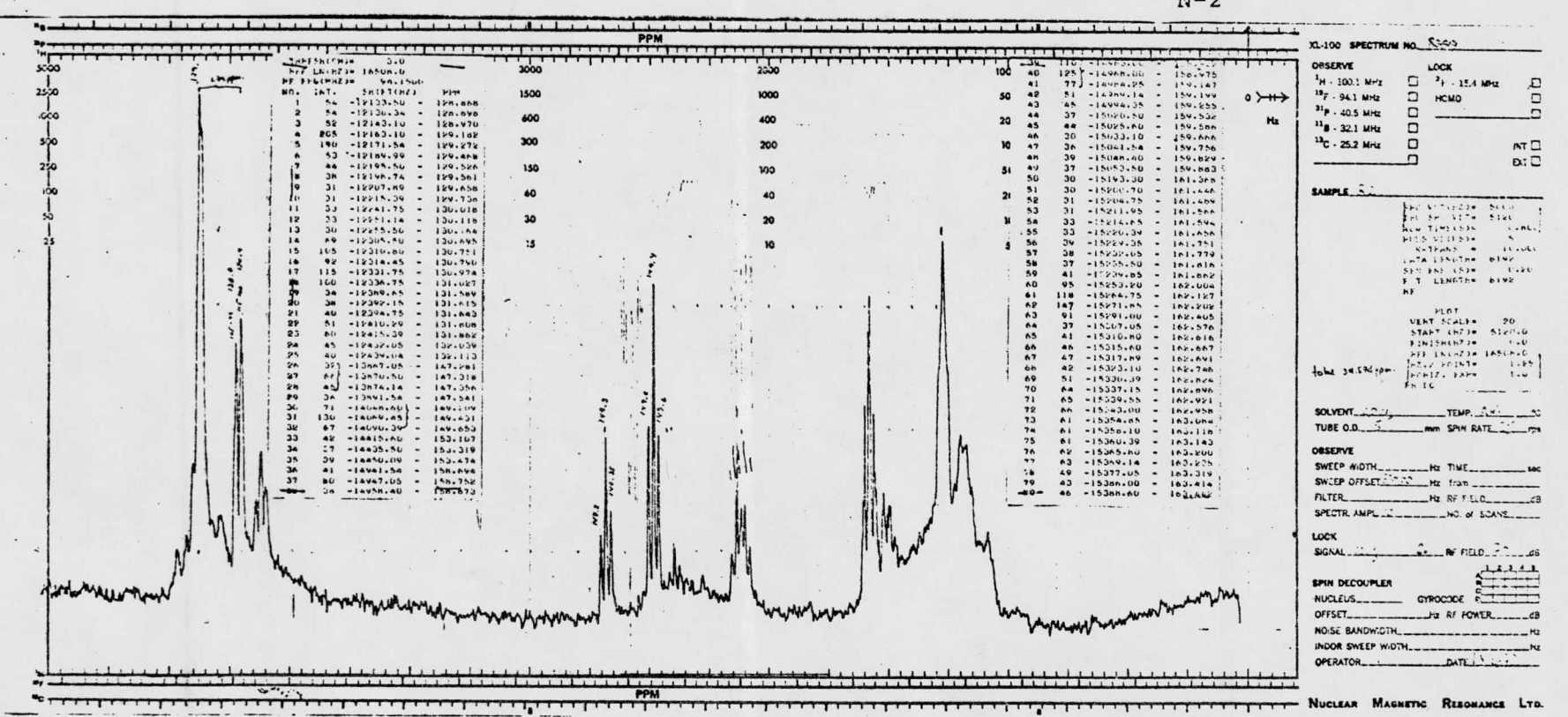
Se prepara una suspensión de la sal de plomo (XII) en $\mathrm{CH_2Cl_2}$ y a esta se agrega una cantidad estequiométrica del compuesto (XVI) (ver parte experimental), se calienta y se obtiene un polvo cristali no verde de punto de fusión definido (90-92°C). El compuesto análogo del que se partió tiene punto de descomposición. Se ignora cual será la formula del compuesto que se obtuvo (ver conclusiones).

Se hicieron pruebas de susceptibilidad magnética por el método de Evans (ver Apéndice III), la prueba resultó negativa como se puede ver en la figura (Fig. E-1). por lo tanto la muestra es diamagnética.

Encontramos en el espectro de infrarojo, bandas en 3500 y 1650 cm⁻¹ debidas a la presencia de agua en el compuesto; una banda en 1740 que sugiere posiblemente la presencia de un anillo fluorado; bandas en 1510, 1470, 1080 y 970 correspondientes al fluorotiol: bandas en 1090, 870, 740 y 500 debidas a la presencia de fosfina. Estas últimas se pueden comparar con las que aparecen en el espectro del compuesto (XVI) que aparecen en la misma zona, el espectro corres pondiente al producto obtenido se puede ver en la figura (Fig.1-2).







En el espectro de RMN 19 F 94.1 MHz se obtuvieron tres señales correspondientes a F_3 , que nuevamente es la señal que más se aproxima al primer orden y la que puede rendir información. En principio se tienen dos tripletes traslapados o tal vez tres, en cualquiera de los casos, sólo uno de ellos se puede identificar, tiene un desplazamiento químico $\delta = 147.318$ y una J=21.04, después se tiene un triplete independiente de mayor intensidad que el anterior a $\delta = 149.431$ con una constante de acoplamiento J=20.94 y después un quintuplete formado por el traslapamiento de dos tripletes con desplazamientos químicos y constantes de acoplamiento de $\delta = 153.107$ J = 19.90 y $\delta = 153.474$, J=14.59 respectivamente, con esto se puede tener la certeza de que se tiene por lo menos cuatro isómeros, aunque es muy factible que se tengan más, la conclusión correspondiente se obtendrá posteriormente, (ver conclusiones). (Fig. N-2).

II.2 Compuestos con Rodio.

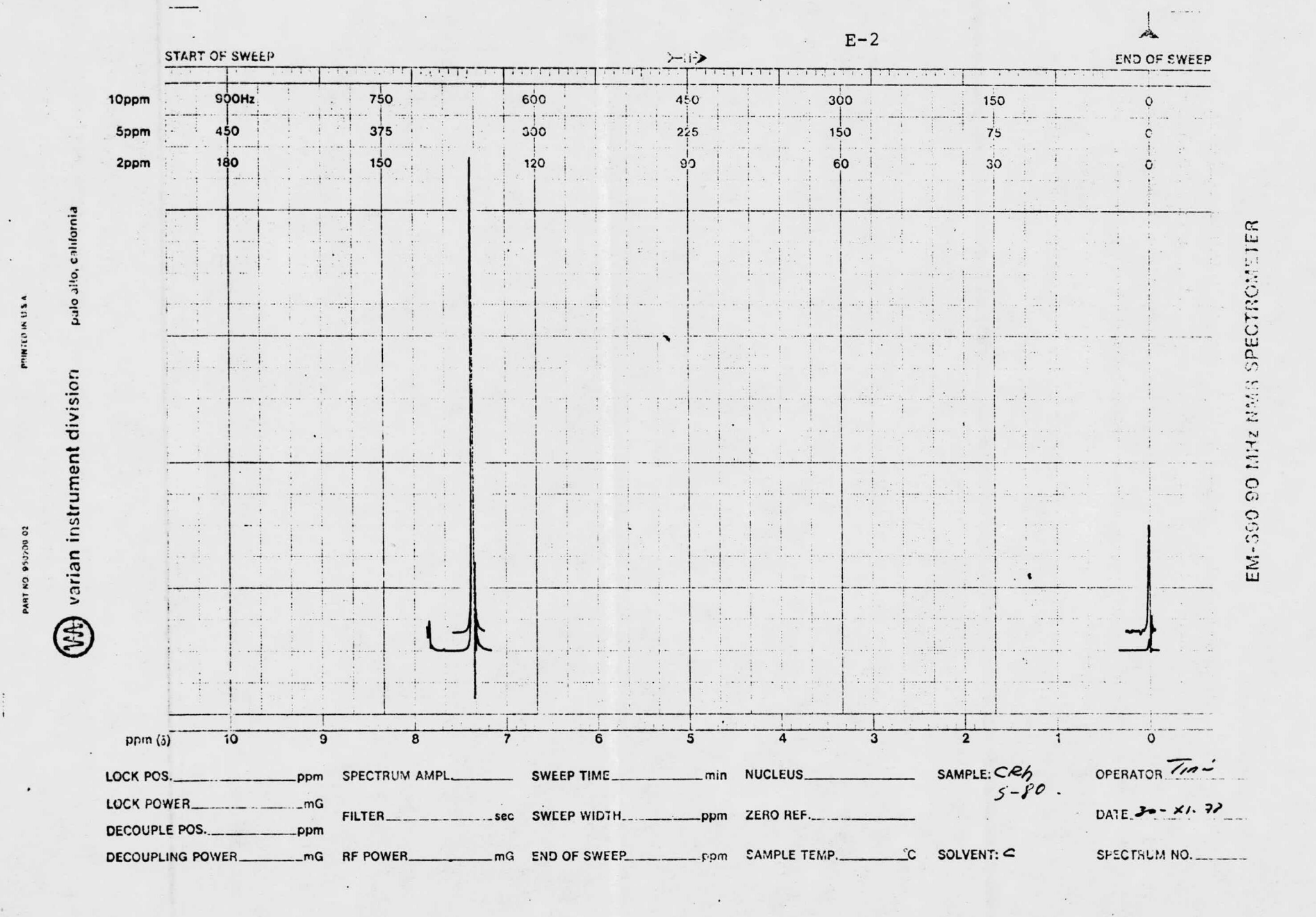
II.2.a Reacción con
$$\left[\text{COD RhCl} \right]_{2}^{28}$$
. (XVII)

Se efectuó la reacción entre el compuesto (XVII) y la sal de plomo en suspensión bencénica, con calentamiento, (ver parte experimental), la reacción es la siguiente:

$$\left[\operatorname{COD} \operatorname{RhCl}\right]_{2} + \operatorname{Pb}(\operatorname{SC}_{6}\operatorname{F}_{5})_{2} \longrightarrow \left[\operatorname{COD} \operatorname{Rh}(\operatorname{SC}_{6}\operatorname{F}_{5})\right]_{2} \tag{XVIII}$$

La medida de susceptibilidad magnética por el método de Evans (Fig. E-2), muestra comportamiento diamagnético.

En el espectro de infrarojo, nuevamente se encuentran las bandas del pseudohalógeno (ver Apéndice II); se encuentran además bandas de 2930, 2895, y 2840 debidas a la vibración longitudinal del enlace C-H; bandas en 868, 850 y 815 que corresponden a vibraciones de deformación fuera del plano para el enlace C - H en ole



fina; una banda poco intensa en 1635 correspondiente a la vibración longitudinal del grupo C=C y dos bandas poco intensas también en 790 y 772 debidas a la vibración S-C . (Fig. I-3)

Del espectro de RMN 19 F 94.1 MHz se pueden observar señales correspondientes a F_1 y F_3 que se aproximan al primer orden. Para F_1 se observan dos pares de dobletes, para F_3 dos tripletes, sus desplazamientos químicos y constantes de coplamiento son los siquientes: (Fig. N-3)

$$J_{1,2}$$
 $J_{1,1}$ $J_{2,3}$ δ δ
 $C_{6}F_{5}$ 26.85 6.76 21.05 129.14 157.14

 $C_{6}F_{5}$ 26.50 7.35 21.25 129.98 157.82

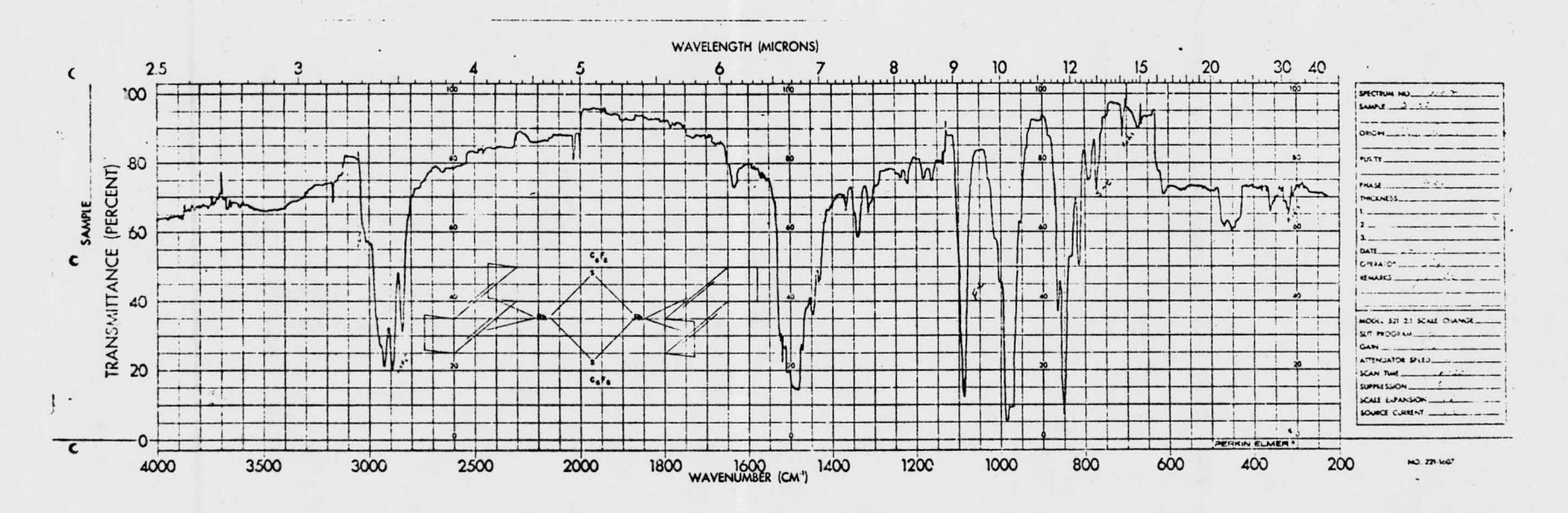
Se ha considerado que hay un mínimo de dos isómeros, la con secuencia de esto se verá más adelante, (Ver conclusiones).

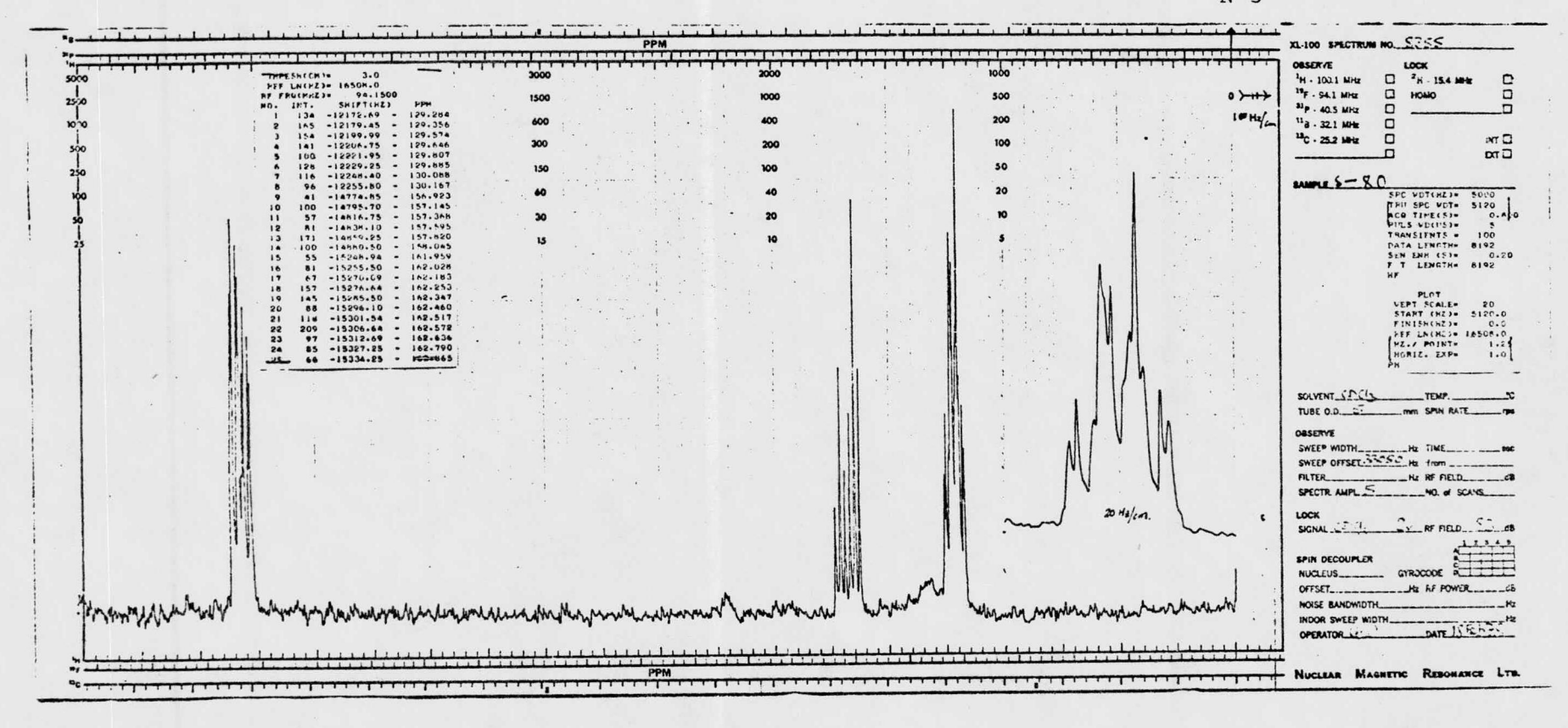
El análisis elemental concuerda aproximadamente con la composición porcentual del compuesto XVIII. (ver parte experimental)

II.2.b Reacción con
$$\left[NBD RhC1 \right]_{2}^{29}$$
 (XIX)

El compuesto (XIX) fué sintetizado por el método reportado en la literatura ²⁹, en el mismo medio de reacción en que se obtuvo (recristalización en cloroformo), se redisolvió y posteriormente se suspendio la sal de plomo por agitación y se sometió a calenta miento, la reacción llevada a cabo fué la siguiente:

$$[NBD RhC1]_2 + Pb(SC_6F_5)_2 \longrightarrow [NBD Rh(SC_6F_5)]_n \qquad (XX)$$





Nuevamente se realizó la medida de la susceptibilidad magn $\underline{\acute{e}}$ tica por el método de Evans y manifestó comportamiento diamagn $\acute{e}t$ $\underline{\acute{e}}$ co. (Fig. E-3) .

El análisis elemental coincide aproximadamente con la compos<u>i</u> ción porcentual del compuesto (XX), pero como se puede notar, el análisis se corroborará siendo n cualquier número, más adelante se discutirá esto, (ver conclusiones y parte experimental).

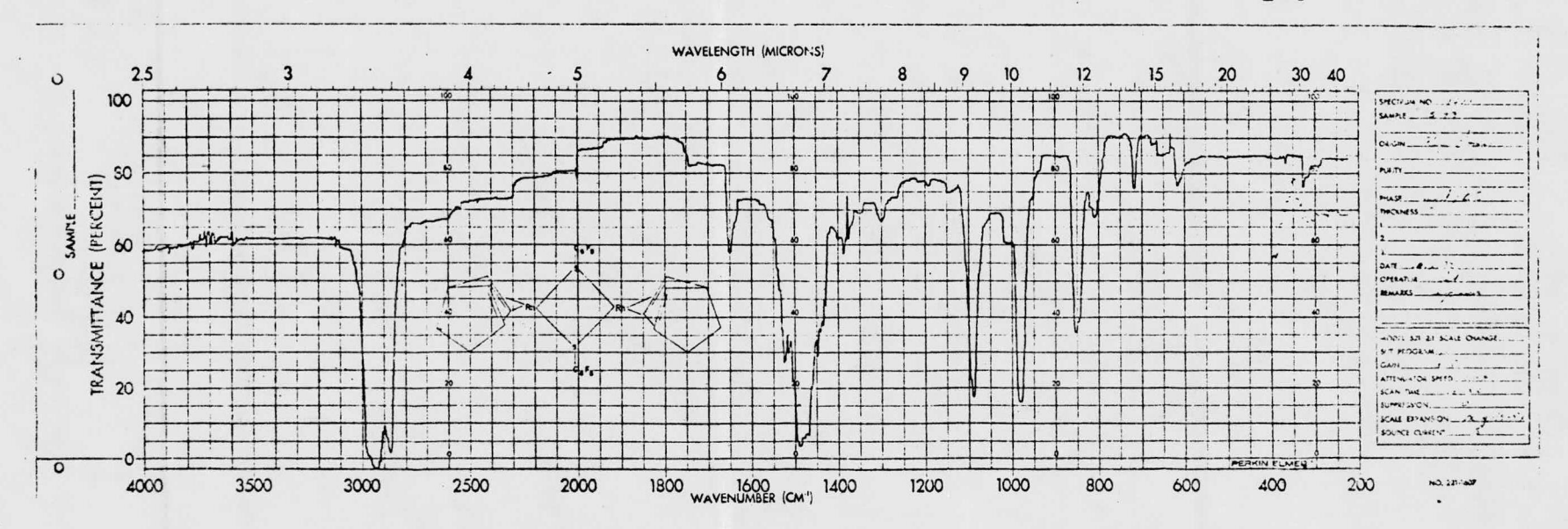
En el espectro infrarojo puede apreciarse nuevamente las bandas del fluorotiolato ya reportadas anteriormente; bandas en 1650 y 850 debidas a vibración longitudinal del grupo C=C y vibraciones fuera del plano de C-H olefínico, ademas se encuentra la banda característica de norbornadieno coordinado en 1303 cm⁻¹ 30.

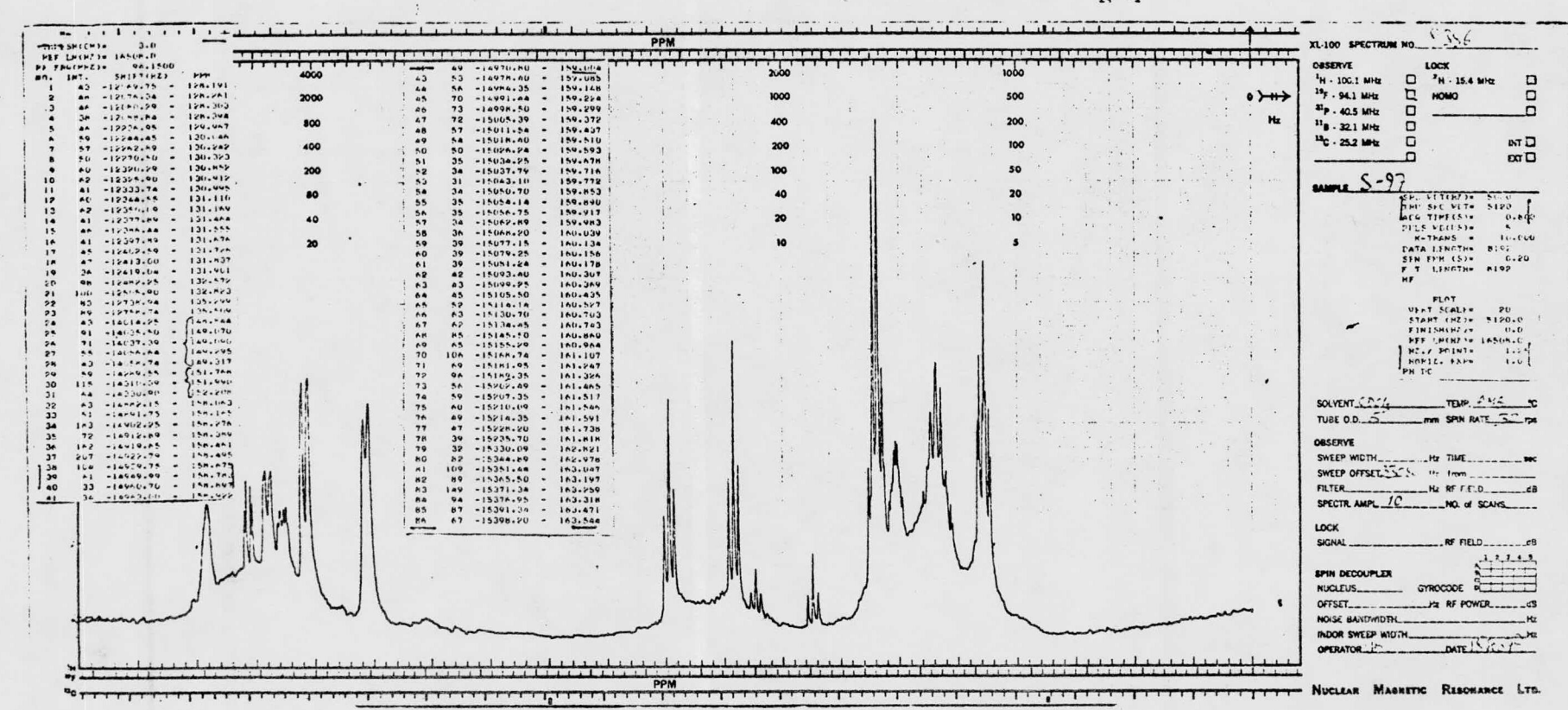
En el espectro de RMN 19 F 94.1 MHz, se aprecian señales correspondientes a F_3 , nuevamente el comportamiento se aproxima al primer orden para este núcleo, se tienen tres tripletes; dos de ellos traslapados, sus constantes de acoplamiento y desplazamiento químicos son los siguientes: (Fig. N-4)

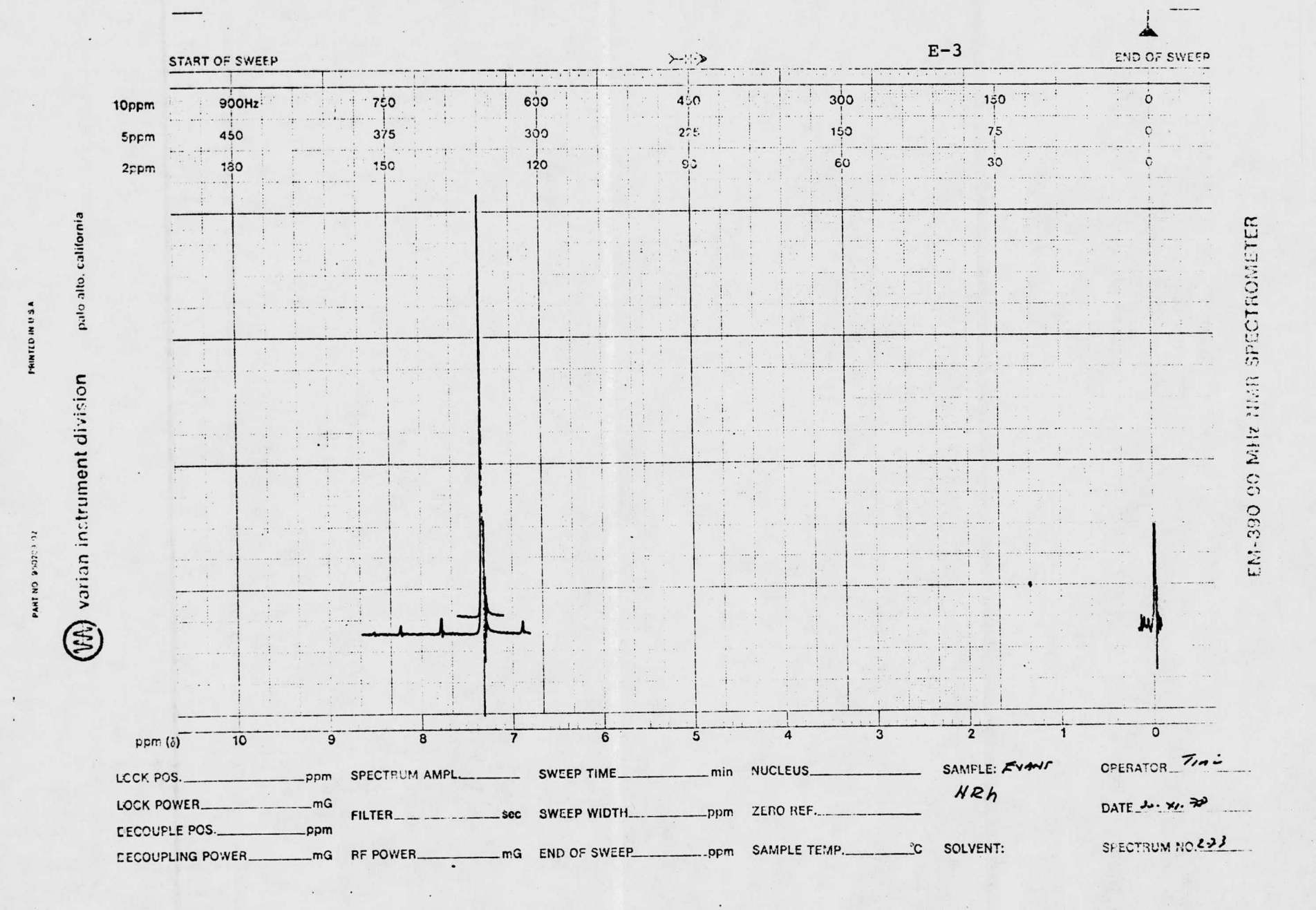
	J	δ
C ₆ F ₅	21.14	149.07
C ₆ F ₅ *	21.35	149.09
C6F5**	20.51	151,99

SE observan por lo menos tres isómeros, pero las señales pequeñas en el espectro que no se alcanza a integrar, indican que debe haber más, la discusión correspondiente se encuentra más adellante (Ver conclusiones).

II.2.c Reacción con
$$\left[DCP \ RhCl \right]_{2}^{28}$$
 (XXI)







La materia prima fué sintetizada siguiendo la técnica descrita en la literatura 28 , en el medio de cristalización, (benceno), se redisolvió el compuesto (XXI) y la sal de plomo fué añadida con calentamiento, la reacción llevada a cabo fué la siguiente:

$$\left[DCP RhCl \right]_2 + Pb(SC_6F_5)_2 \longrightarrow \left[DCP Rh(SC_6F_5) \right]_2$$

El comportamiento diamagnético fué observado tanto por el método de Evans como por la balanza de Gay.

El espectro de infrarojo muestra las bandas reportadas anterior mente para el pentafluorotiofenolato; bandas en 2940, 1633 y 836 de bidas a la vibración longitudinal del enlace C-H, la vibración longitudinal del enlace C-EC y la vibración fuera del plano del grupo C-H olefínico, además se tiene una banda pequeña en 1388 que posiblemente se deba a los enlaces dobles coordinados. 30 (Figs 1-5, 1-5)

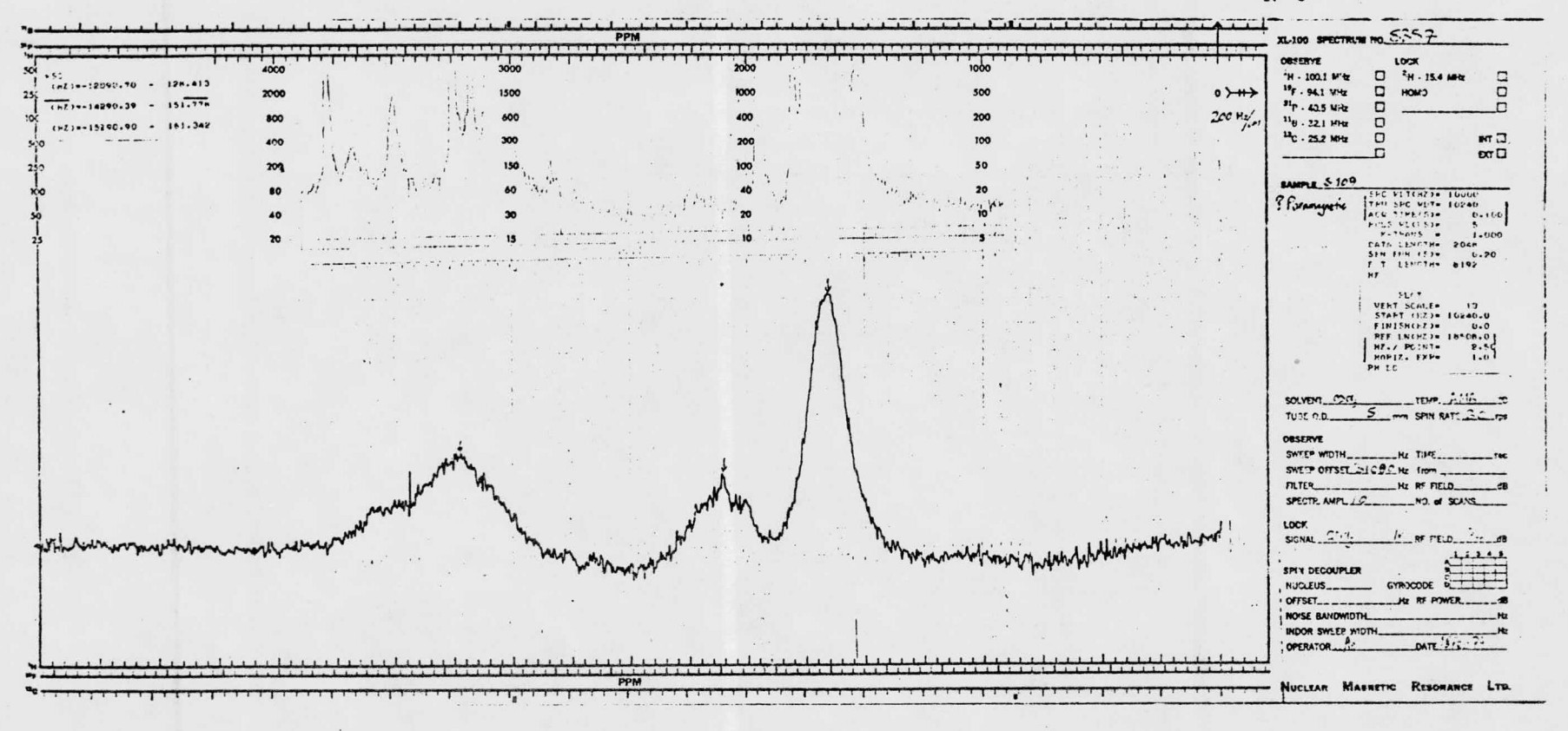
El espectro RMN ¹⁹F 94.1 MHz, no muestra señales que puedan interpretarse posteriormente se analizara esta situación, (Fig.n-5)

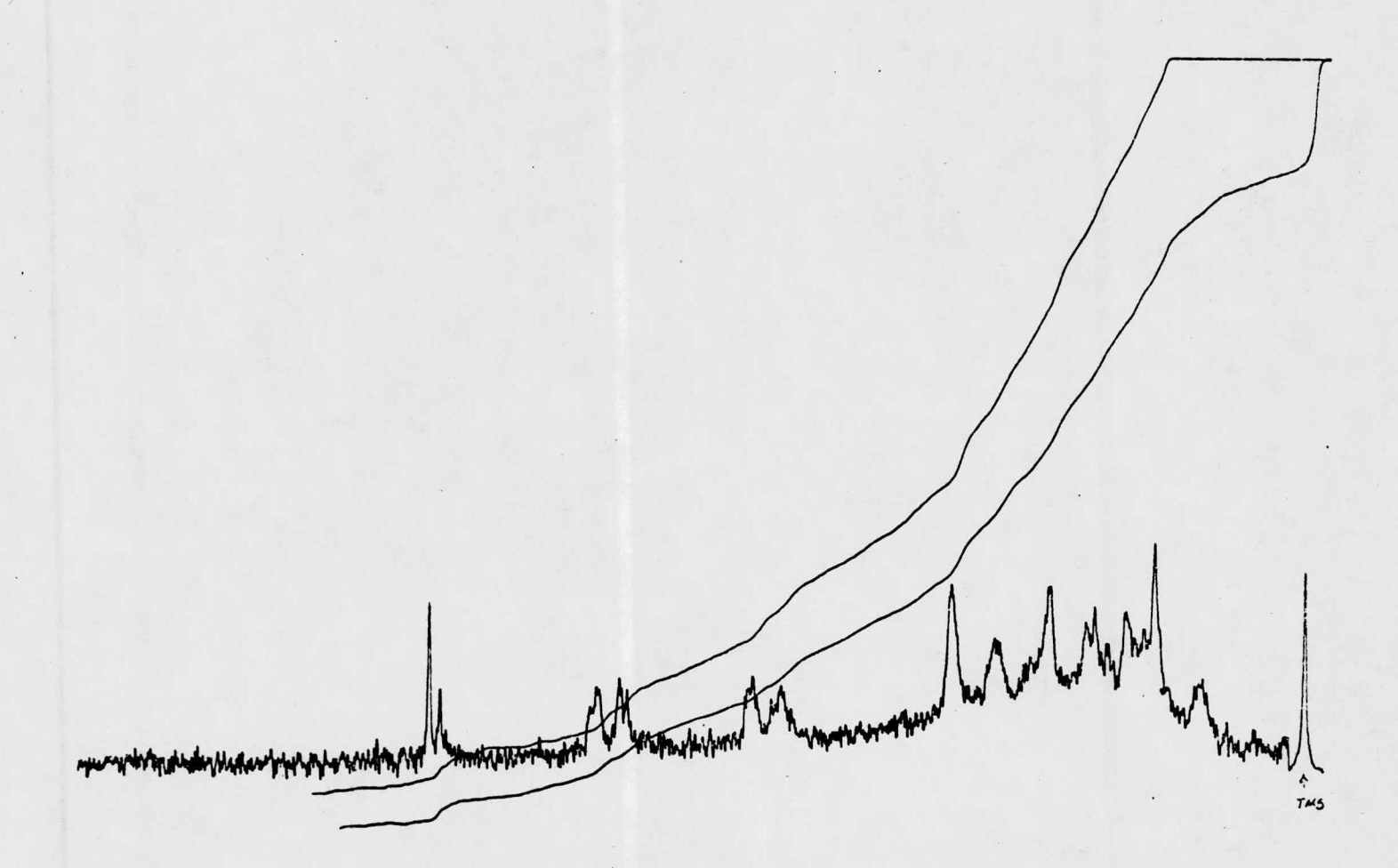
Fl análisis elemental no concuerda satisfactoriamente con la com posición porcentual del compuesto (XXI), (ver parte experimental y conclusiones).

II.3 Compuestos con Paladio.

II.3.a Reacción con
$$[(PPh_3)PdCl_2]_2^{31}$$
 (XXII)

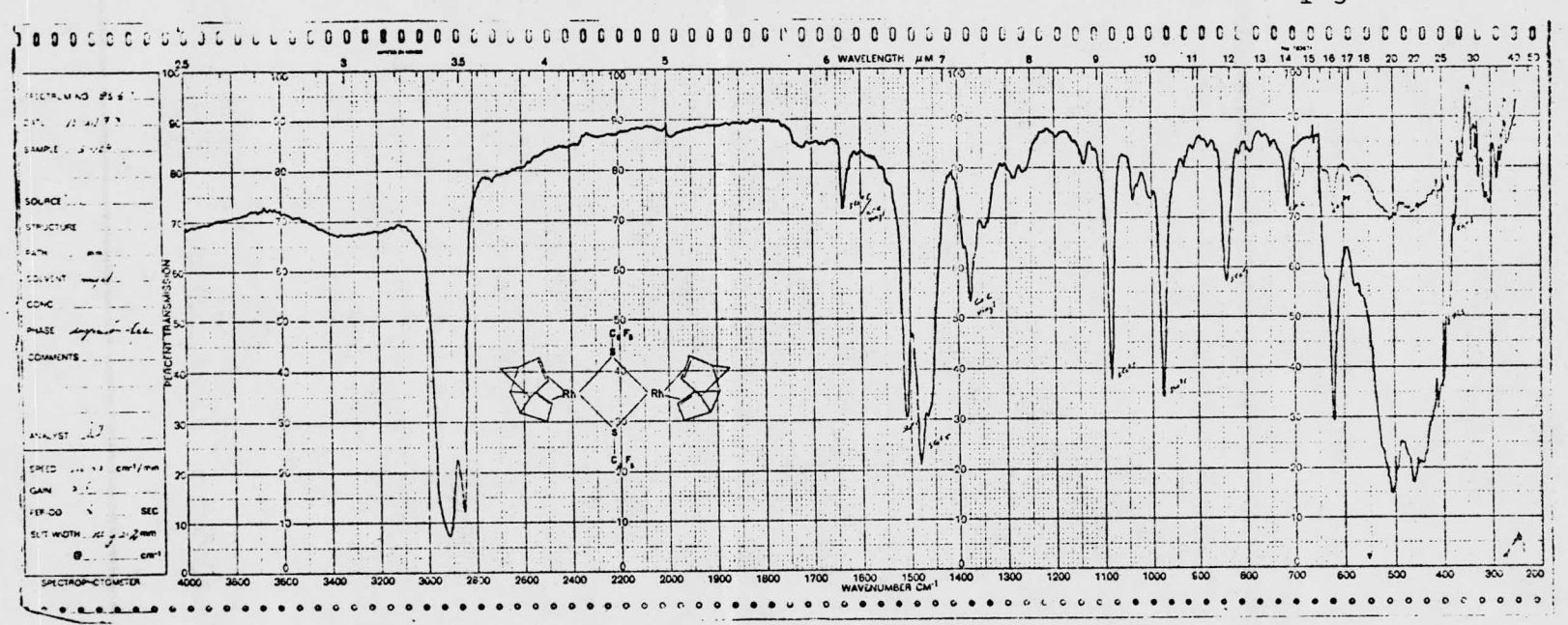
El compuesto (XXII) fué preparado previamente por la técnica reportada en la literatura ³¹, éste y la sal de plomo se agitaron en solución clorofórmica y se obtuvo un sólido anaranjado rojizo, la reacción es la siguiente:

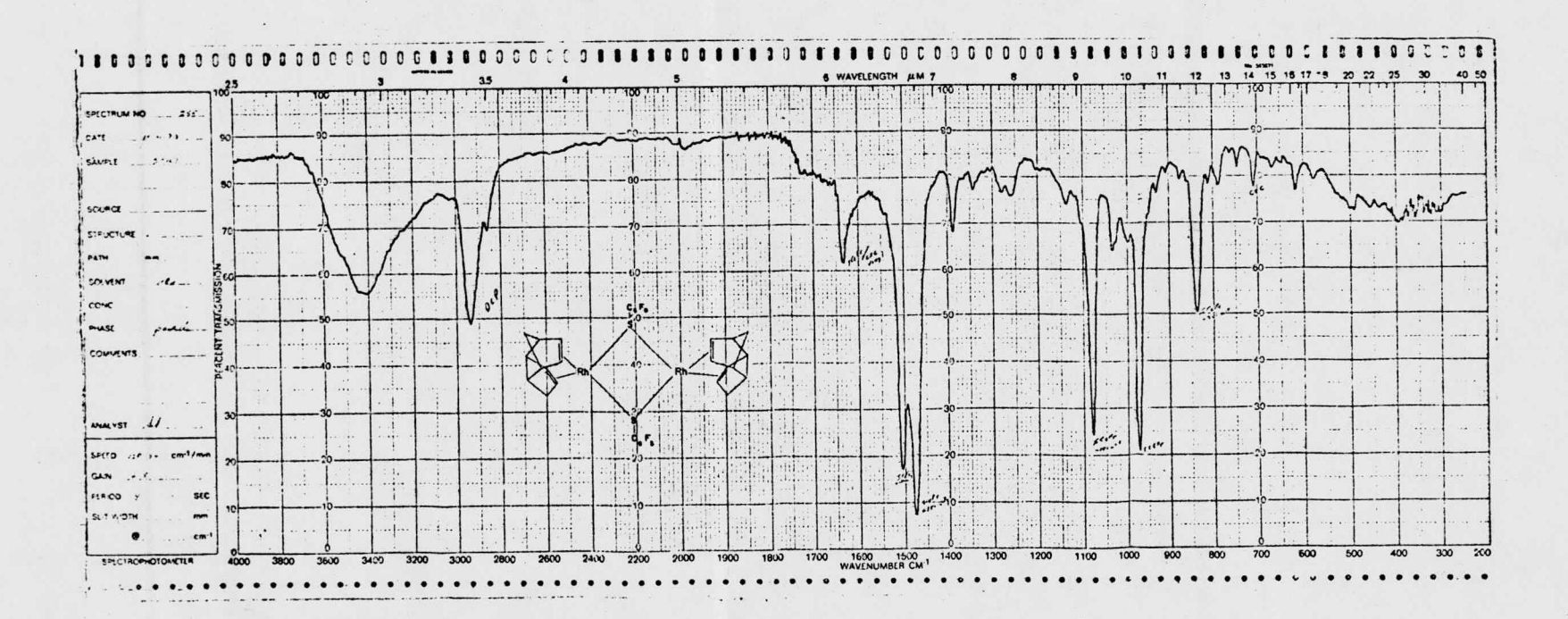


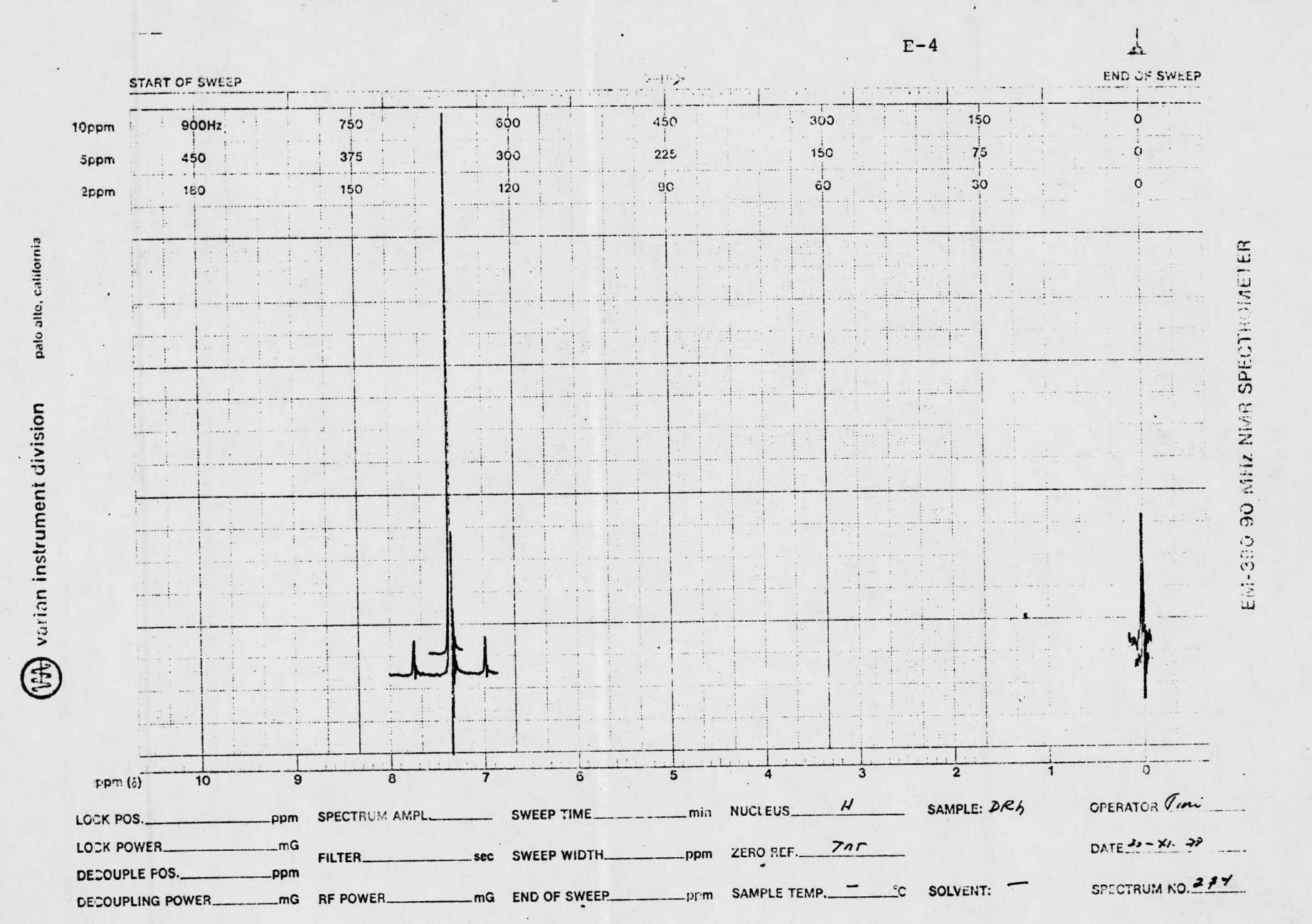


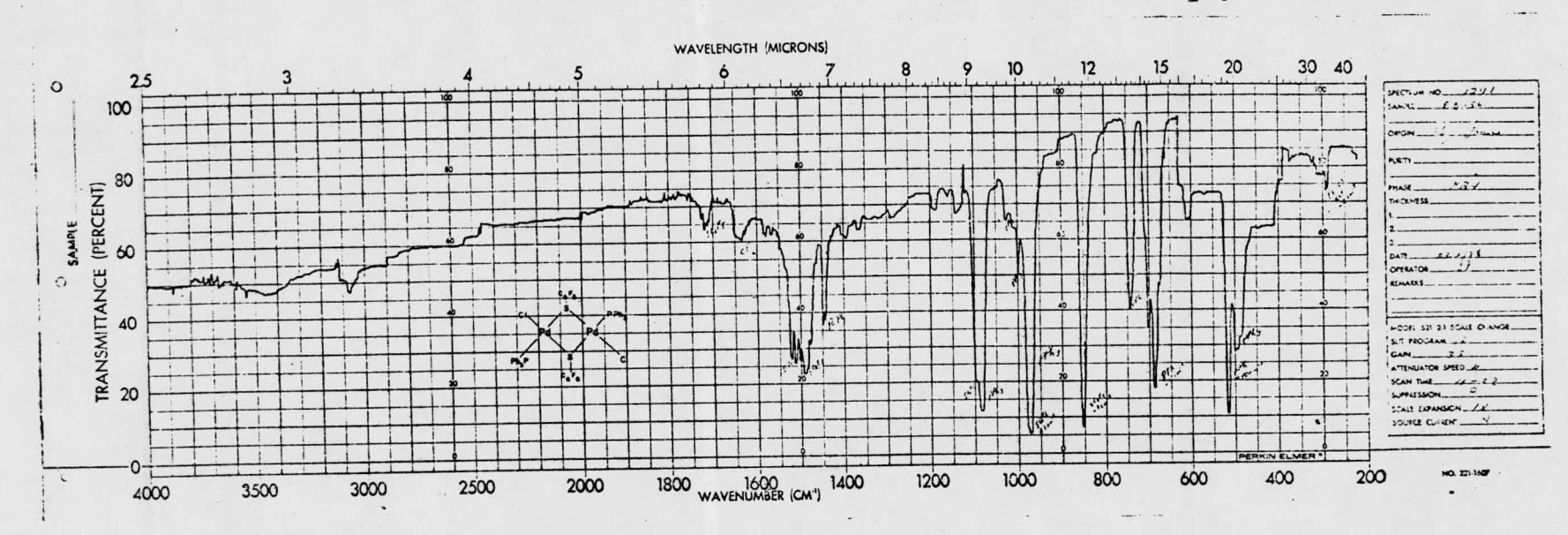
5.A 6000 Filter 0.1

Aljandino 11- Diz- 78









$$[(PPH_3)PdCl_2]_2 + Pb(SC_6F_5)_2 \longrightarrow [(PPh_3)Pd(SC_6F_5)Cl]_2$$

Nuevamente se encuentran en el espectro infrarojo las bandas pertenecientes al fluorotiolato; bandas en 1450, 1440, 745, 690, 510, y 495 correspondientes a la trifenil-fosfina y una banda pequeña en 291 debida a posible enlace puenteado.

El análisis elemental coincide con la composición porcentual del compuesto (XXII), la estructura que presenta se propondra posteriormente (ver conclusiones).

II.3.b Reacción con
$$\left[\text{CH}_3 \text{SCH} \left(\text{CH}_3 \right) \right]_2 \text{PdI}_2$$
 (XXIII)

Se hace reaccionar (XXIII) con la sal de plomo en solución acetónica y se obtiene un compuesto rojo y ioduro de plomo, la reacción es la siguiente:

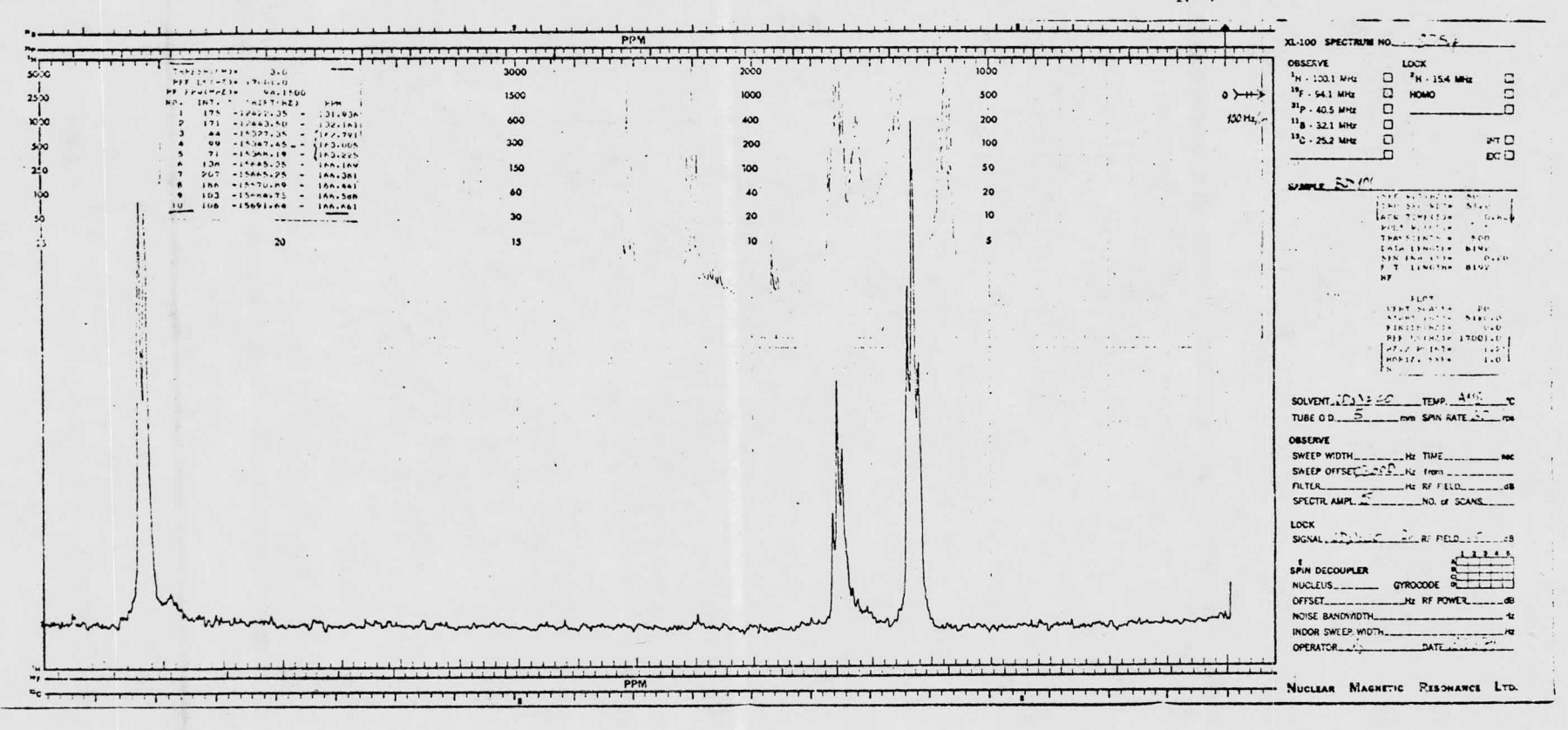
$$\left[\text{CH}_{3} \text{SCH} \left(\text{CH}_{3} \right) \right]_{2} \text{PdI}_{2} + \text{Pb} \left(\text{SC}_{6} \text{F}_{5} \right)_{2} - \left[\text{CH}_{3} \text{SCH} \left(\text{CH}_{3} \right) \right]_{2} \text{Pd} \left(\text{SC}_{6} \text{F}_{5} \right)_{2}$$

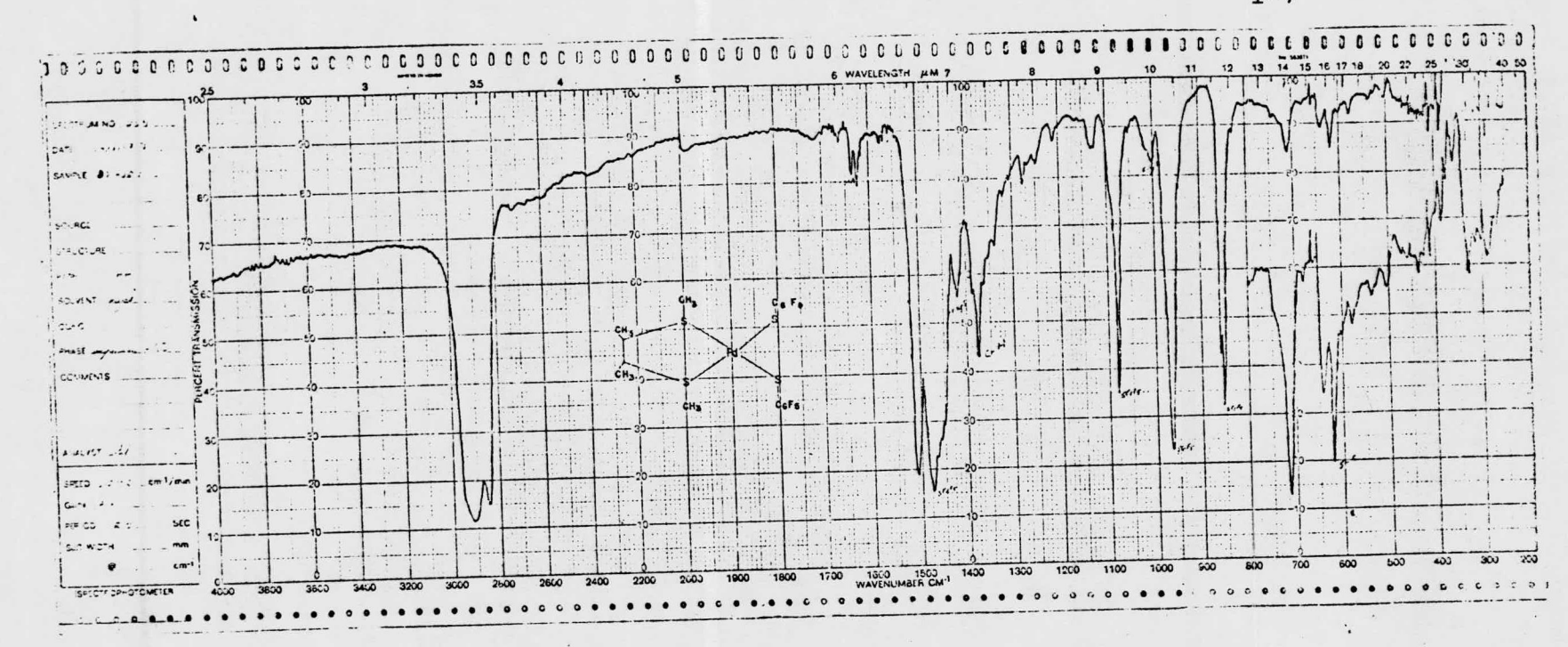
$$(XXIV)$$

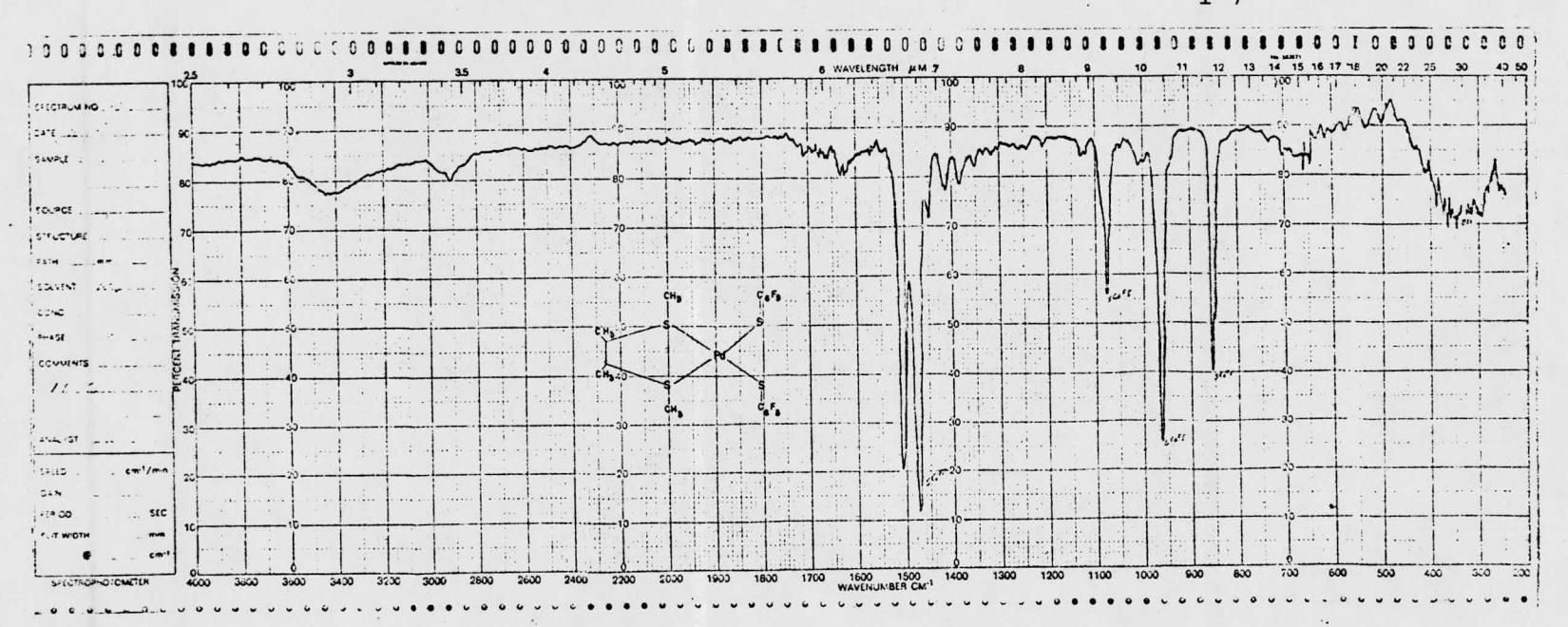
El análisis elemental concuerda aproximadamente con la composición porcentual del compuesto (XXIV), (ver parte experimental).

En el espectro de infrarojo se encuentran las bandas corres pondientes al hidrocarburo son difíciles de ver, en la amplificación se encuentran las bandas debidas a las vibraciones S-C en 720, 640 y 625, además se tienen bandas en 330 y 290 correspondientes a vibraciones S-Pd. (Figs. 1-7, 1-78).

El espectro RMN 19 F 94.1 MHz. presenta comportamiento muy aproximado al primer orden en todas sus señales el orden de aparición es el mismo: orto, para meta. Para F_1 aparece un doblete para







 F_3 un triplete y para F_2 una señal múltiple sus constantes de acoplamiento y desplazamientos químicos se tabulan a continuación: (fig. N-7)

$$J_{1,2}$$
 $J_{2,3}$ δ^1 δ^3 C_6F_3 21,15 20.74 132.04 163 005

Se tiene un isomero. La estructura que se propone se analizará posteriormente. (ver conclusiones).

I_II DISCUSION

Introducción:

Son varias las conclusiones que se pueden obtener de este tra bajo. En todos los casos presentados, la información y resultados obtenidos dan lugar a proposiciones con respecto a posibles estructuras de los compuestos preparados.

III.1 Compuestos con Rutenio.

III.1.a
$$\left[\text{Ru}\left(\text{N-N}\right) \left(\text{PPh}_{3}\right)_{2} \left(\text{SC}_{6}\text{F}_{5}\right)\right]_{2}\text{Cl}_{x}$$

Considerando el análisis elemental y el espectro infrarojo se puede afirmar la fórmula (XIV), pero se pueden encontrar varios isó meros estructurales y estos a su vez tener varios isómeros conforma cionales. En el espectro RMN $^{19}{\rm F}$ 94 1 MHz, como se vió en el capítulo anterior, se encuentran dos tipos de señales, una definida para dos conformómeros y otra muy complicada de la que no se puede determinar el número de isómeros presentes. Los desplazamientos químicos respectivos son $\delta = 153.803$ y $\delta = 155.358$. La primera señal debe corresponder a un isómero en el cual el ambiente químico por arriba y por abajo del plano imaginario xy es similar ya que la única variación en la estructura estará dada por la orientación del anillo fluorado. La estructura XXV cumple con éste requisito, pero existe otro isómero que a su vez presenta la misma característica y es el siguiente:

$$\begin{array}{c|c} & & & & & \\ & & & & \\ & & & & \\ & & & \\ & & & \\ & & & \\ & & \\ & & \\ & & \\ & & \\ & & \\ & & \\ & & \\ & & \\ &$$

La segunda señal puede corresponder a una estructura como la mostrada abajo.

$$\begin{array}{c|c} & & & & \\ & & & & \\ & & & & \\ & & & \\ & & & \\ & & & \\ & & & \\ & & \\ & & \\ & & \\ & & \\ & & \\ & & \\ & & \\ & & \\$$

III.b Reacción con
$$\left[\text{RuCl}_3 \left(\text{PPh}_2 \text{Me} \right) \right]_n$$
 (XVI)

El compuesto A preparado a partir del compuesto (XVI) y la sal de plomo (XII), no ha podido ser dilucidado en cuanto a su fórmula composición porcentual y estructura, en el capítulo anterior se $c\underline{i}$ tan los resultados análiticos y espectroscópicos obtenidos a partir del él.

La dilucidación estructural del compuesto A deberá ser realizada por cristalografía de rayos X.

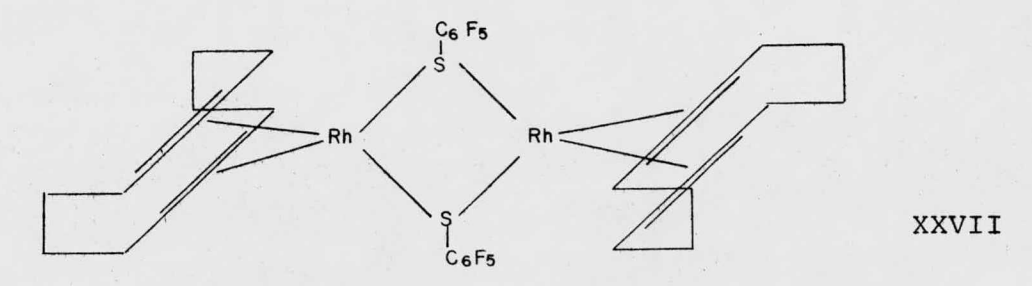
IIL2 Compuestos con Rodio

III2.a
$$\left[\text{COD Rh } \left(\text{SC}_{6}\text{F}_{5}\right)\right]_{2}$$
 (XVIII)

El espectro infrarojo y el análisis elemental permiten considerar una probabilidad aproximada de tener la especie (XVIII).

Como se vió en el capítulo anterior, en el espectro RMN ¹⁹F, aparecen señales para dos isomeros, Tomando en cuenta la composición porcentual del compuesto (XVIII) con respecto al análisis elemental obtenido, se puede pensar que en el caso de existir dos especies químicas, estas deben ser isómeros.

Conociendo la estructura de la materia prima (XVII), se puede proponer para el compuesto obtenido la siguiente estructura:

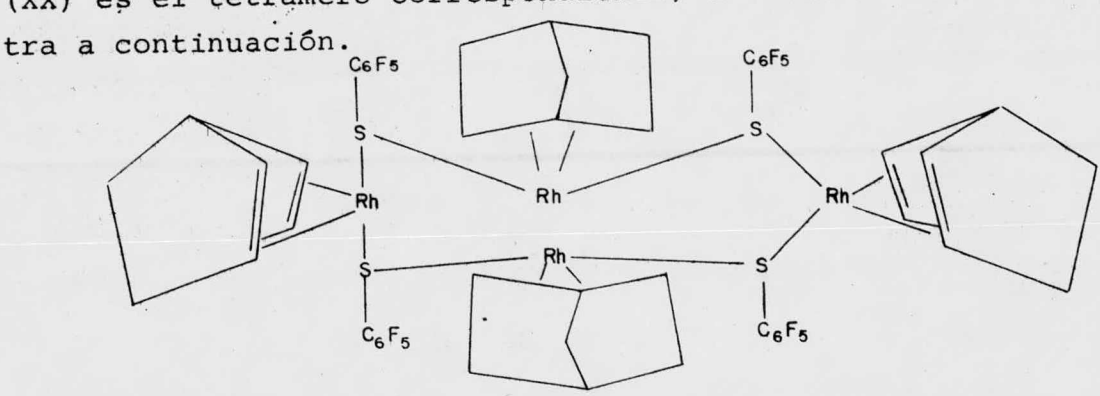


Para esta estructura, es posible obtener dos isómeros anti y sin. Hay pocas posibilidades de tener otros compuestos. Por lo tanto se propone la estructura (XXVII) como la más probable.

El análisis elemental obtenido es correcto para la fórmula reportada aunque, desafortunadamente en este caso dicho análisis solo incluye la composición porcentual de carbono e hidrógeno. Por su parte el espectro infrarrojo es compatible, con la presencia tanto de enlaces metal-doble enlace como de enlaces metal-azu fre.

Los datos citados sugieren la formula reportada para este compuesto, pero estos serían los mismos para cualquier valor de n en (XX).

El peso molecular determinado osmométricamente, sugiere que el compuesto obtenido contiene varias unidades monoméricas además como se vió en el capítulo anterior el espectro RMN 19 F muestra señales para un mínimo de siete grupos C_6F_5S diferentes. Con estos resultados es claro que existe una enorme cantidad de estructuras posibles. Un ejemplo de una posible estructura para (XX) es el tetrámero correspondiente, un isómero de este se mues



Esta es una posibilidad ya que como se dijo anteriormente las señales en el espectro RMN pueden corresponder a siete isómeros o a siete compuestos diferentes (monómeros, diméros trimeros). Además, el resultado obtenido tanto en osmometria, como en RMN es del comportamiento del compuesto en solución, un argumento determinante solo puede obtenerse por cristalografía de rayos X.

III 2.c
$$\left[DCP \ Rh \left(SC_6F_5\right)\right]_n \ 5H_2O$$
 (XXI)

En este caso, como en casos anteriores, el análisis elemental y el espectro infrarojo corroboran la fórmula del compuesto (XXI), pero, a diferencia del caso anterior, no se tiene datos osmoétricos de peso molecular y el espectro RMN 19 F no da ninguna información por lo que no se puede proponer ninguna estructura.

III.3 Compuestos con Paladio.

III 3.a
$$\left[(PPh_3) Pd (SC_6F_5) C1 \right]_2$$
 (XXII)

Nuevamente el análisis elemental y el espectro infrarojo corroboran la fórmula del compuesto (XXII). En este caso tampoco se tiene estudio de espectroscopía RMN $^{19}{\rm F}$.

Se tienen dos posibilidades sobre la estructura posible del compuesto, la primera de ellas es la sustitución de los cloros del puente por moléculas de pentafluorotiofenolato, la estructura es la siguiente:

La otra posibilidad es que se hayan sustituido los cloros existim x ternos y se obtenga una estructura como la siguiente.

XXX

No se puede afirmar ninguna de las dos estructuras basándose en resultados experimentales, a excepción de una pequeña banda en el espectro infrarrojo en la zona 293 cm⁻¹que con respecto a trabajos anteriores sugiere que la estructura XXX esta presente.

Se debe tomar en cuenta ambas posibilidades, la dilucidación de la estructura real se debe realizar por cristalografía de rayos X.

III.3.b
$$\left[CH_3SCH(CH_3) \right]_2Pd(SC_6F_5)_2$$
 (XXIV)

Con respecto a este caso, como en casos anteriores. el espectro infrarrojo y el analisis elemental son coherentes para el compuesto (XXIV), la resonancia magnética nuclear ¹⁹F reporta señales para un sólo isómero o compuesto. Tomando en cuenta la estructura del compuesto (XXIII) (Fig a).

Se puede proponer la siguiente estructura:

XXXII

Como se puede ver, este es el único caso en que el compuesto que se preparó no presenta puentes. El objetivo inicial era preparar a partir de este último compuesto (Fig. a) una nueva especie que contuviera puentes por una reacción como la que se describe

(fig. b).

Esta reacción no pudo llevarse a cabo por la inestabilidad de los reactivos en solución. De cualquier modo, el compuesto (XXIV) es un compuesto nuevo y como tal se reporta.

IV CONCLUSIONES

No existe en la literatura reportada anteriormente ningún trabajo de síntesis o caracterización con respecto a compuestos de pentafluorotiofenol conteniendo rutenio; los que aquí se han reportado son los primeros que se sintetizan desafortunadamente en el caso del compuesto A, no se ha podido determinar su estructura pero el compuesto $\left[(N-N) \right]_{2}^{(PPh_{3})_{2}} Ru \left(SC_{6}F_{5} \right)_{2}^{2} Cl_{2}$, está determinado y es el primero de esta especie que se conoce.

Los compuestos de rodio cuya síntesis y caracterización se reportan aquí son a su vez nuevos, pero también existen descrepancias en los casos de $\left[(NBD,Rh(SC_6F_5) \right]_2$ y $\left[(DCP) Rh(SC_6F_5) \right]_2$ con respecto a su estructura, un estudio de difusión de rayos X sería útil para determinarlos completamente.

Los compuestos de paladio, en cambio presentan; en el caso de $\left[(\text{PPh}_3) \, \text{Pd} \, (\text{SC}_6 \, \text{F}_5) \, \text{Cl} \right]_2$, la necesidad de un estudio RMN $^{19} \, \text{F}$ para determinar la naturaleza del puente. El compuesto $\left[\text{CH}_3 \, \text{SCH} \, (\text{CH}_3) \right]_2 \, \text{PdI}_2$ es el único no puenteado de la serie, pero también es una especie nuevos al igual que el anterior.

En general, se pudo comprobar que aquellos compuestos originalmente puenteados con halogenos dieron lugar a compuestos puenteados de pentafluorotiofenol y el último caso, de un compuesto no puenteado dio, a su vez, lugar a un compuesto no puenteado.

El trabajo requiere estudios complementarios, pero en la información obtenida se puede afirmar que todas las especies sintetizadas son originales.

PARTE EXPERIMENTAL

Los análisis elementales fueron realizados en los laboratorios de A. Bernard en Alemania Federal y Departamento de Química de la Universidad de Edimburgo, Escocia.

Los espectros infrarojos se obtuvieron en espectrofotometros Beckmann 4240 y Perkin-Elmer 521 en pastillas de KBr para el intervalo 4000-600 y suspensiones de nujol/CsI para el intervalo 600-250 cm⁻¹, en el Departamento de Química Analítica de la D.E.Pg de la Facultad de Química de la U.NA.M.

Las determinaciones de susceptibilidad magnética por el método de Evans se realizaron en un espectrómetro Varian EM-390 90 MHz, en el mismo Departamento de Química Analítica antes mencionado.

Las determinaciones osmométricas y los espectros RMN ¹⁹F 94.1 MHz fueron realizados en el Departamento de Química de la Universidad de Edimburgo los cuales fueron obtenidos con espectrómetro Varian HA-100.

Cloruro de μ dipentafluorotiofenol tetrakis (trifenilfosfina) bis (2,2-bipiridina) di-Tutenio (II). [Ru(N-N)(PPh_3)_2(SC_6F_5)]_2 Cl_x^{6H}_2^0

A una solución de 0.4 g. (0.2 mmol) de cloruro de pdicloro tetrakis-(trifenilfosfina) bis (2,2-bipiridina) di-Rutenio (II) en 100 ml. de acetona, se agregaron 0.14 g. (0.23 mmol) de pentafluo rotiofenolato de plomo y se agitó sin calentamiento durante seis horas.

Se evaporó el disolvente recuperandose un sólido rojo y uno verde, este último en muy bajo rendimiento. La muestra se disolvió en acetona y se corrió en una columna de alúmina empacada con éter de petróleo, se separó el producto y se recristalizó de ${\rm CH_2Cl_2}$ / hexano. Punto de descomposición 148-50°C.

Atomo Análisis Encontrado		Análisis Calculado para Ru ₂ C ₁₀₄ Cl ₂ F ₁₀ H ₈₈ N ₄ O ₆ P ₄
C	58.34%	58.34%
Н	4.59%	4.12%
N	2.56%	2.61%

Sintesis del compuesto A.

Se agregaron 0.1 g. del compuesto $\operatorname{RuCl}_3(\operatorname{PMePh}_2)$ na una sus pensión en $\operatorname{CH}_2\operatorname{Cl}_2$ de 0.07 g. (0.1 mmol) de $\operatorname{Pb}(\operatorname{SC}_6F_5)_2$ y se some tió a reflujo por 12 hrs. Se separó por filtración un polvo verde oscuro que fué nuevamente disuleto en acetona, se recistalizó por evaporación lenta un producto cristalino de color verde oscuro que es el compuesto A. P.f. 90-92°C.

Peso Molecular. Osmometría en benceno: 2074

No se tienen datos de análisis elemental teórico ya que no se sabe cual puede ser la configuración del compuesto. Análoga mente, el peso molecular no puede compararse contra un peso teórico por la misma razón.

Bis (ciclo octa-1,5-dieno) μ dipentafluorotiofenol dirodio (I) $\left[\text{COD Rh } (\text{SC}_6 \text{F}_5) \right]_2$

Una suspensión benéenica de 0.5 g. (0.8 mmol) de $Pb(SC_6F_5)_2$ con 0.4 g. (0.81 mmol) de bis(ciclo octa-1,5 dieno) μ dicloro dirodio ²⁸ se puso a reflujo durante seis horas. Posteriormente se evaporó y disolvió en cloroformo dejando recristalizar por evaporación lenta, el producto sufre decoloración con la luz por lo que se guarda en frascos ambar. P.d. 170-4.

Atomo	Análisis Encontrado	Analisis Calculado para Rh ₂ C ₂₈ F ₁₀ H ₂₄ S ₂
С	40.43%	40.97%
Н	3.94%	2.93%
S	6.94%	7.80%

Peso Molecular encontrado 775, teórico 820. Osmometría en Benceno.

 $\left[\text{ NBD Rh } (\text{SC}_6F_5) \right]_n$

0.4 g. (0.86 mmol) de bis(norbornadieno) μ dicloro dirodio (I) fueron sintetizados de acuerdo a E.W. Abel⁸. En el medio de recristalización (benceno) se disolvieron y se suspendieron por agitación 0.52 g. (0.85 mmol) de Pb(SC₆F₅)₂. La agitación se continuó durante dos días, acto seguido se evaporó el disolvente, el producto obtenido se disolvió nuevamente en benceno y se dejó recristalizar por evaporación lenta. El compuesto calentado a 250° no sufre ningún cambio.

Atomo	Análisis Encontrado	Análisis Calculado para (RhC ₁₃ F ₅ H ₈ S) _n
С	39.53%	39.59%
Н	1.77%	2.03%

Peso Molecular. Osmometría en benceno. encontrado 1450, teórico 1576.

DCP Rh(SC₆F₅)_n



De acuerdo a Chatt & Venanzi 28 se preparó la matería prima. Se separaron 0.012 g. (0.02 mmol) y se disolvieron en cloroformo (50 ml.) A esta solución se agregaron 0.013 g. (0.021 mmol) de $Pb(SC_6F_5)_2$ que fueron suspendidos por agitación. La agitación se continuó a temperatura ambiente durante cinco horas, después se evaporó el disolvente y el producto obtenido se disolvió nuevamente en cloroformo dejandolo precipitar por cristalización lenta, se aisló un producto cristalino rojo que no sufre ningún cambio calentándose a 300 °C

Atomo	Análisis Encontrado	Análisis Calculado para Rh ₂ C ₃₂ F ₁₀ H ₃₂ O ₄ S ₂		
С	40.48%	40.85%		
Н	3.03%	3.40%		

Di pentafluorotiofenol bis (cloro) bis (trifenilfosfina) paladio (I) o Di peloro bis (pentafluorotiofenol) bis (trifenilfosfina) paladio (I)

El análogo con puentes de cloro se preparó de acuerdo a Chatt 31 0.154 g. (0.18 mmol) de este - PPh $_3$)PdCl $_2$ $_2$ - y 0.105 (0.17 mmol) de Pb(SC $_6$ F $_5$) $_2$ se suspendieron en cloroformo por agitación durante tres horas, se forma un compuesto rojo que se disuel ve en el medio clorofórmico y en precipitado blanco, se filtra la solución y se deshecha el precipitado. La solución se evapora y el producto se disuelve nuevamente en cloroformo. Esta solución se somete a evaporación lenta y cristaliza un compuesto cristalino rojo P.d. 242-45°C.

Atomo	Análisis Encontrado	Análisis Calculado para Pd ₂ C ₄₈ Cl ₂ F ₁₀ H ₃₀ P ₂ S ₂
С	47.77%	48.00%
Н	2.48%	2.47%
S	5.53%	5.31%

Bis (pentafluorotiofenolato bis (2,3 ditiometil-butano) paladio (II).

En un matraz se disuelven 0.1 g. (0.19 mmol) de bis (Iodo)bis (2,3 ditiometil-butano) paladio (II) en 25 ml. de acetona; a esta solución se agrega una solución de 0.12 g. (0.19 mmol) de $Pb(SC_6F_5)_2$ y se produce una reacción instantanea, se precipita un polvo amarilo que es ioduro de plomo y se forma un compuesto rojo que se disuelve en el medio acetónico. Se decanta la fase líquida, se evapora el disolvente y el producto formado se lava con una solución al 10% de tiosulfato de potasio para eliminar el ioduro de plomo, se disuelve nuevamente en acetona y se recristaliza por evaporación lenta P.D. 153-56°C.

Atomo	Análisis Encontrado	Análisis Calculado para PdC ₁₈ F ₁₀ H ₁₂ S ₄		
С	33.32%	33.10%		
Н	2.19%	1,84%		

APENDICE I

COMPUESTOS FLUORADOS CON PUENTES DE AZUFRE

COMPUESTO	REFERENCIAS
$\left[\text{CF}_{3} \text{Re} \left(\text{CO} \right)_{4} \right]_{2}$	33
[CF ₃ Mn(C0) ₄] ₂	33,34,35,36
$\left[(CF_3S) (CH_3S) \right] \left[Mn (C0)_4 \right]_2$	35
$\left[\text{Mn}\left(\text{CO}\right)_{4}\right]_{2}\left(\text{SCF}_{3}\right)\left(\text{SC}_{6}\text{H}_{5}\right)$	35
$\left[\operatorname{Mn}\left(\operatorname{C0}\right)_{4}\right]_{2}\left(\operatorname{SCF}_{3}\right)\operatorname{Cl}$	35
[W(C0) ₄ SCF ₃] ₂	37
[CpW(C0) ₂ SCF ₃] ₂	34
[Mo(CO) ₄ SCF ₃] ₂	37
[CpMo(C0) ₂ SCF ₃] ₂	34
[CpFe(C0)SCF ₃] ₂	37
Fe ₂ (C0) ₅ PPh ₃ (SCF ₃) ₂	37
$\left[\text{Fe} (\text{CO})_{2} (\text{PPh}_{3}) (\text{SCF}_{3}) \right]_{2}$	34,37
[Fe(N0) ₂ SCF ₃] ₂	37
$\left[\text{Fe}\left(\text{CO}\right)_{3}\text{SCF}_{3}\right]_{2}^{\text{C}_{4}\text{F}_{6}}$	38
Fe ₄ (C0) ₁₂ S(SCF ₃) ₂	34
[Fe(C0) ₃ SCF ₃] ₂	34
[CpNiSCF ₃] ₂	34

COMPUESTO	REFERENCIA
[CpNiSCF ₃] n	37
[(C ₆ F ₅ S)NiCp] _n	39
[(C ₆ F ₅ S)Ni] _n	21
$\left[(C_6 F_5 S) Re (C0)_4 \right]_2$	40
$\left[(C_6 F_5 S) Fe (C0)_3 \right]_2$	39
[(C ₆ F ₅ S)Fe(C0) ₂ Cp] ₂	39
$[co(c0)_3]_2(c_6F_5S)_2$	41
[(C ₆ F ₅ S)Mn(C0) ₄] ₂	34,40
(C0) 5Cr (SC6F5) Fe (C0) 2Cp	42
[(C ₆ F ₅ S) ₂ Pt] _n	21
[(C ₆ F ₅ S) ₂ Pd(PPh ₃)] ₂	21
[(C ₆ F ₅ S) ₂ Pd] _n	21
$\left[(C_6F_5S) Rh (C0)_2 \right]_2$	26,43,44
$\left[(C_6F_5S) Rh (C_2H_4)_2 \right]_2$	26

APENDICE II

METODO DE EVANS

La posición de una línea en el espectro RMN ¹H para cualquier compuesto, depende de la susceptibilidad magnética del medio en que esta situada la molécula. Para una sustancia inerte en solución, los desplazamientos causados por los iones paramagnéticos estan da dos por la expresión teórica:

$$\frac{\Delta H}{H} = \frac{2\pi}{3} \Delta K$$

ΔK es el cambio en la susceptibilidad volumétrica.

Por tanto es posible medir la susceptibilidad magnética de una sustancia en solución diluida.

De acuerdo con D.F. Evans ⁴⁵, se coloca una sustancia inerte en un tubo de resonancia y un capilar que contenga la misma concentración de esta sustancia y el ión paramagnético, la sustancia inerte es una referencia; en soluciones acuosas se utiliza acetona, dioxano o alcohol terbutílico; en soluciones no acuosas, ciclohexano o tetrametil silano.

Aparecen dos líneas de resonancia para los protones tanto del disolvente como de la referencia en ambas soluciones, esto se debe a la diferencia en su susceptibilidad volumétrica. La línea proveniente de la sustancia más paramagnética aparece a mayor frecuencia.

La susceptibilidad magnética específica de la sustancia en solución esta dada por la expresión:

$$X = \underbrace{3\Delta t}_{2 \text{ π fm}} + Xo + \underbrace{Xo(do - ds)}_{m}$$

Donde:

Af es la diferencia de frecuencias entre las dos líneas en ciclos por segundo.

f es la frecuencia en que se estudian los espectros RMN

¹H, en ciclos por segundo.

m es la masa de sustancia en 1ml. de solución.

X es la susceptibilidad específica del disolvente.

d_ses la densidad de la solución.

d es la densidad del disolvente.

Para sustancias diamagnéticas habrá traslapamiento de líneas en el espectro.

Las soluciones deben ser diluidas, en caso contrario la linea corres pondiente en el espectro será muy ancha.

APENDICE III

TABLA DE FRECUENCIAS DE ABSORCION EN INFRARROJO

COMPUESTOS	SC ₆ F ₅ *	C=C	С-Н	s-c	PPh ₃ *	C-F	M-Cl	Otras Bandas
Ru (N-N) (PPh ₃) ₂ (SC ₆ F ₅) ₂ Cl _x	1510f 1470f 1080f 970f	1625d	2976m 2920f 2850m 1625d 832m		1434m 1090m 1022d 740m 720f 690f 505m 480d	1115m		3400**d 3050d 1725***d 1381d 1190m 535f 520f
NBD Rh(SC ₆ F ₅) _n	1510f 1470f 1080f 980f	1650m 1300d	2940f 2870f 855m	718d 618d		1389d 1375d		1740***d 330 d
		4.600.1	20205	771		1015d		985f
COD Rh(SC ₆ F ₅) ₂	1510f	1620d	2928f	7710				955d
	1470f		2890f	6100		1005m		868m
	1080f		2822f					835m
	970f		1340m					815m
			850f					790d 470d 450d 362d 320d

COMPUESTO	-SC ₆ F*	C=C	С-Н	s-c	PPh ₃	C-F	M-Cl	Otras Bandas
	1508f		2940m	789d		1135d		3400**d
DCP Rh (SC ₆ F ₅) _n	1475f	1633d	2830d	710d		1033d		505đ
0 3 11	1080f		1387d	617d				495d
	972f		837m					460d 410d 389d 375d 315d 303d 289d
(PPh ₃)Pd(SC ₆ F ₅)Cl ₂	1505f	1630d	1382d	610d	1435m	1190d	292d	3400**d
3 0 3 2	1470f 1080f 970f		853f		1090f 1000m 743m 703m 688f 515f 476m	1139d		1720***d 500m 492m

COMPUESTO						
	-SC ₆ F ₅	С-Н	S-C	C-F	PMePh _{3*}	Otras Bandas
$CH_3SCH(CH_3)_2Pd(SC_6F_5)_2$	1508f	1632d .	660d	1279d		1449d
	1472f	855f	618d	1248d		1412d
	1079m 962f			1130d		1383d 849d 410d 389d 342d 331d 290d
Compuesto A	1508f 1478f 1089f 982f	1635d 850d	685m	1240d	2985m 2940f 2870m 1280m 890f 740f 690f 501f	3400**d 1740***m 1730***m 1442m 1390d 705d 550m

^{*} Asignación a enlaces en moleculas de espectro conocido.

^{**} Absorción de molécula de ${\rm H_20}$

^{***} Posible absorción de anillo aromático fluorado considerandolo como olefina Posible absorción de puente metal-azufre.

NOMENCLATURA

PPh₃ - Trifenil Fosfina

RMN ¹H - Resonancia Magnética Nuclear de Protones

RMN ¹⁹F - Resonancia Magnética Nuclear de Fluor

L - Ligante

MHz - Mega hertz

J - Constante de Acoplamiento

 δ - Desplazamiento Químico

N - N - Bipiridina

PPh₂Me - Metil difenil fosfina

COD - Cicloocta 1.5 -dieno

NBD - Norbornadieno

DCP - Diciclopentadieno

Cp - Ciclopentadieno

BIBLIOGRAFIA

- 1 Moeller, T., Inorganic Chemistry, Ed. Reverté (1961) México.
- 2 James, R.B., Coord. Chem. Rev., 1, 505 (1966)
- Fletcher, J.M., Gardner, W.E., Hooper, E.W., Hayde, K.R., Moore F.H. & Woodhead, J.L., Nature 199, 1089 (1963) .
- 4 Stephenson, T.A. & Wilkinson, G.J. Inorg. Nucl. Chem. 28, 945 (1966)
- 5 Cotton, F.A. & Hart. F.A., The Heavy Transition Elements, The Whitefriars Press LTD, London (1975) .
- 6 Cotton, F.A. & Wilkinson, G., Química Inorgánica Avanzada, Ed. Limusa, México (1974).
- 7 Anderson, I.R. & Basolo F., Inorg. Syn., 7, 214 (1963) .
- 8 Booth, G., Adv. Inorg. Chem. Radiochem., 6, 1 (1964)
- 9 Jolly, W.L, The Principles of Inorganic Chemistry, McGraw-Hill, Inc. New York (1976).
- 10 Hartley, F.R., Organometalic Chem. Rev., 6A, 119 (1970)
- 11 Hartley, F.R. The Chemistry of Platinum and Palladium, Applied Science Publishers (1973).
- 12 Canterford, J.H. & Colton, R., Halides of the Second and Third Row Transitions Metals, John Wiley, New York (1968).
- 13 Wells, A.F., Structural Inorganic Chemistry, Clarendon Press, Oxford, 3rd end. (1962).
- 14 Vananzi, L.M., Chem. Br., 4, 162 (2968)
- 15 Kauffman, G.B. & Tsai, J.H., Inorg. Syn. 8,234 (1966)
- 16 Cross, R.J. Organometalic. Chem. Revs., 2A, 97 (1967)

- 17 Adams, M., Org. Sym., 1,71 (1921).
- 18 Peach, M.E. & Spinney, H.G., Can. J. Chem., 49 644 (1971)
- 19 Peach, M.E., Can J. Chem , 46, 2699 (1968)
- 20 Robson, P., Smith, T.A., Stevens, R. & Tatlow, J.C., J. Chem., Soc. 3692, (1963).
- 21 Nyholm, R.S., Skinner, J.F. & Stiddard, M.H.B., J. Chem. Soc. A 38 (1968).
- 22 Woodward, P., Dahl L.F., Abel E.W. & Crosse, B.C. JACS 87, 5251 (1965).
- 23 Boschi, T., Crocioni, B., Toniolo. L. & Belluco, U., Inorg. Chem. 532 (1970).
- 24 Coates, G.E., Green, M.L.H., Powell, P. & Wade, L., Principios de Química Organometálica, Ed. Reverté. (1975) México
- 25 Ruiz-Ramírez, L., Stephenson, T.A. & Switkes, E.S., J. Chem. Soc. Dalton, 1770 (1973).
- 26 Cooke, Jl, Green, M. & Stone, F.G.A. J. Chem. Soc.. A, 170 (1968)
- 27 Cruz. V.D., Caracterización y Propiedades de un Nuevo Compuesto de Rutenio (III) (RuCl₃(PMeØ₂)_n, tesis de Grado UNAM (1978).
- 28 Chatt, J. & Venanzi, L.M. J. Chem. Soc., 2351 (1957).
- 29 Stephenson, A., Switkes, E.S. & Ruiz-Ramírez, L.J.Chem. Soc. Dalton, 2112 (1973).
- 30 Chatt, J. & Venanzi, L.M., J. Chem. Soc. 2351 (1957).
- 31 Adams, D.M., & Chandler, P.I., J. Chem. Soc. A. 588 (1969)

- 32 King, R.B. & Welcman, N., Inorg. Chem., 8, (12), 2540, (1969).
- 33 Davidson, J.L. & Sharp, D.W.A., J. Chem. Soc. D , 107, (1972).
- 34 Grobe, J. & Kober, F., J. Organometal Chem., 24, (1), 191, (1970).
- 35 Grobe, J., Z. Natursforsk, 1346, (1969).
- 36 Davidson, J.L. & Sharp, D.W.A., J. Chem. Soc. D , 1957, (1973).
- 37 Davidson, J.L., Harrison, W, Sharp, D.W.A. & Sim, G.A.,
 J. Oganometal Chem., 46, (2), C-47, (1972).
- 38 Cooke, J., Green, M. & Stone, F.G.A., J. Chem. Soc., A170, (1968).
- 39 Osborne, A.G. & Stone, F.G.A., J. Chem. Soc., 1143, (1966).
- 40 Natile, G.J., J. Organometal Chem., 26, C-33, (1971).
- 41 Ehrl, W., Z. Natursforsk ted B., 28, 365, (1973).
- 42 Bolton, E.S., Haulin, R. & Knox, G.R., J. Organometal Chem., 18,153,(1969).
- 43 Dahl, L.F., J. Am. Chem. Soc., 1761, (1961).
- 44 Evans, D.F., J. Chem. Soc., 2003, (1959).